Лекция № 8:

Принципы расчета простых фазовых диаграмм как основа ЭВМ-моделирования кристаллизации магм

Программа КОМАГМАТ и другие модели

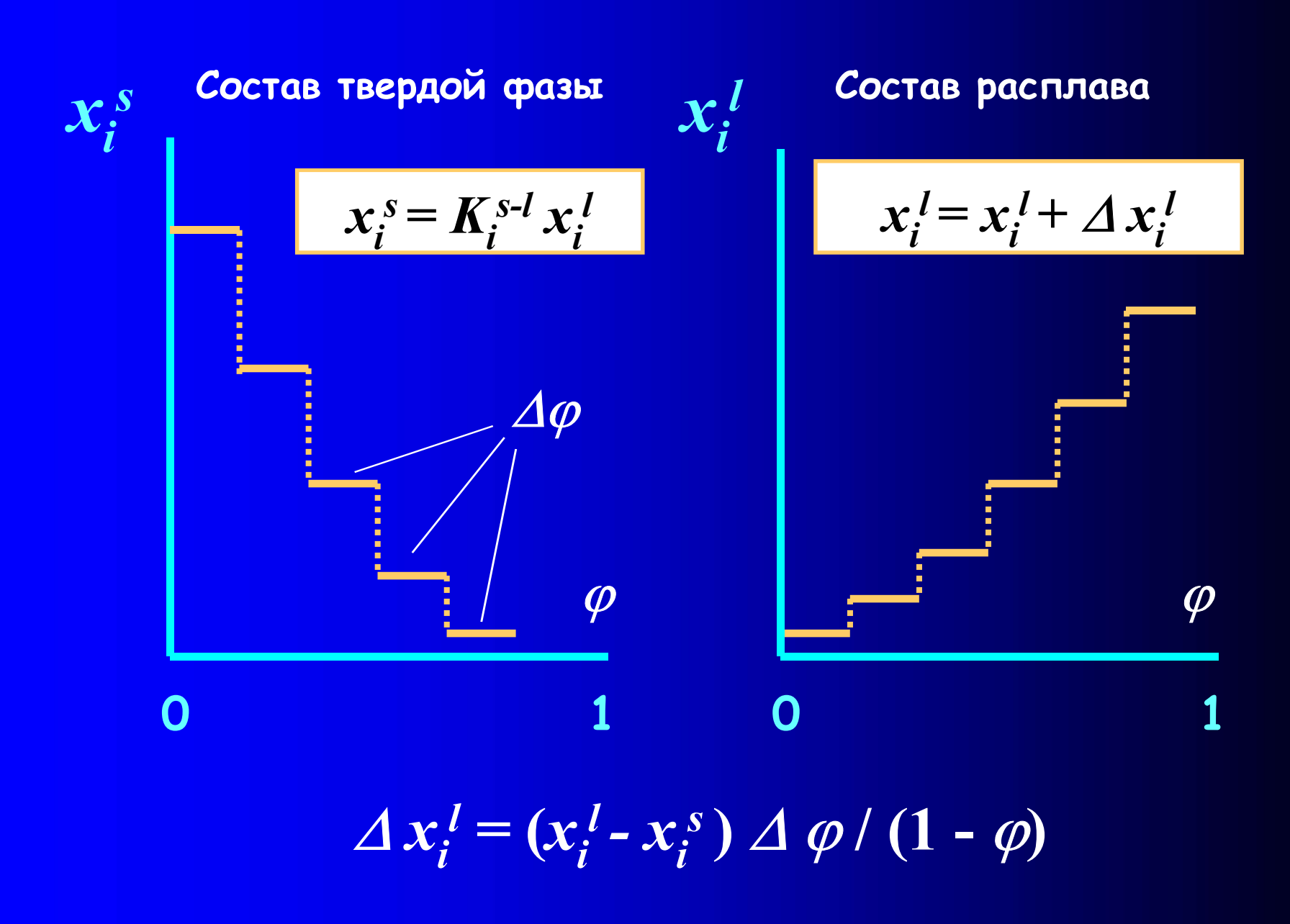
СУЩЕСТВО ЧИСЛЕННЫХ МЕТОДОВ МОДЕЛИРОВАНИЯ КРИСТАЛЛИЗАЦИОННЫХ ПРОЦЕССОВ

$$dx_i^l = (x_i^l - x_i^s)d\varphi / (1 - \varphi)$$

Замена бесконечно малых приращений конечными

$$\Delta x_i^l = (x_i^l - x_i^s) \Delta \varphi / (1 - \varphi)$$

Принцип построения конечно-разностных схем



ЧТО НЕОБХОДИМО ДЛЯ ПОСТРОЕНИЯ ЧИСЛЕННЫХ МОДЕЛЕЙ КРИСТАЛЛИЗАЦИИ МАГМ?

При заданном валовом составе гетерогенной расплавнокристаллической системы или исходного расплава (для случая фракционирования) необходимо "научить алгоритмы" определять:

- (1) Первый кристаллизующийся минерал (включая его состав),
- (2) Последовательность выделения котектических минералов,
- (3) Пропорции кристаллизации этих минералов,
- (4) Составы минералов и расплава по мере понижения температуры или повышении степени кристаллизации исходной системы

ДВА ГЛАВНЫХ МЕТОДА

- (1) Минимизация термодинамических потенциалов (обычно свободной энергии Гиббса) для заданного состава системы, используя значения свободной энергии Гиббса для расплава и минеральных фаз при заданных Р-Т условиях
- (2) Численное решение систем нелинейных уравнений (известных как "закон действующих масс"), связывающих составы минералов и расплава при заданных Р-Т условиях с использованием констант распределения или констант равновесия минерал-расплав

ИСТОЧНИКИ ИНФОРМАЦИИ

- (1) Свободные энергии минералов и расплава *G* рассчитываются при помощи термохимических данных (энтальпия, энтропия, теплоемкость из термодинамических справочников и баз данных)
- (2) Оценки активности выбранных компонентов расплава (при помощи параметров смешения W_{ij} , калиброванных по результатам экспериментальных данных)
- (3) Константы распределения, описывающие равновесия минерал расплав (рассчитываются напрямую по результатам экспериментов в расплавно-кристаллических системах)

ЭМПИРИЧЕСКИЙ БАЗИС ОБОИХ ПОДХОДОВ

Результаты экспериментов по плавлению и кристаллизации магматических пород и их синтетических аналогов в широком диапазоне P-Т-fO2-H2O условий

Отсюда необходимость разработки методов математической обработки (оптимизации) экспериментальных данных, полученных в разных лабораториях, разными методами для разных минералов и составов модельных систем

Термодинамически последовательные модели кристаллизации магм

ПРОГРАММЫ	ИСТОРИЯ РАЗРАБОТКИ
THOLEMAG ↓ COMAGMAT	Ariskin and Frenkel, 1982; Frenkel and Ariskin, 1984, 1985; Ariskin et al., 1993; Ariskin and Barmina, 2004
MELTS	Ghiorso and Carmichael, 1985; Ghiorso and Sack, 1995; Ghiorso, 1997
No name	Weaver and Langmuir, 1990; Langmuir et al., 1992
No name	Camur and Kilinc, 1995

М.Я.Френкель и А.А.Арискин: авторы модели **KOMAFMAT (COMAGMAT)** (ГЕОХИ РАН, 1978)



Сиэтл, 1991)

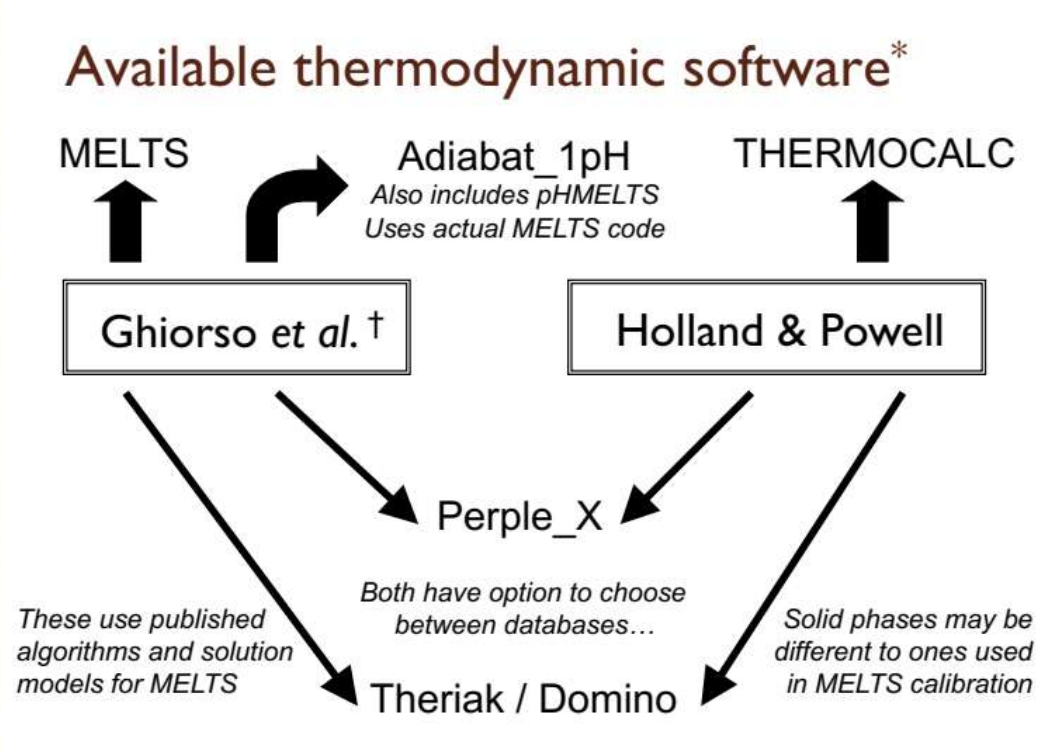
Марк Гиорсоу (слева) и Ричард Сэк: Авторы модели **MELTS** (Вашингтонский университет,

СУЩЕСТВУЮЩИЕ МОДЕЛИ КРИСТАЛЛИЗАЦИИ

Классический термодинамический подход (минимизация G)

(1) Программы семейства MELTS, начиная с работ
(Ghiorso, Sack, 1985-1987)

(2) Программы, основанные на использовании алгоритма минимизации (Connoly, 2005) с подключениям различных баз данных и моделей твердых растворов (Perple_X)



Почему здесь про Holland & Powell?



* List is not exhaustive e.g. Pele is a Windows clone of MELTS

† Also TWEEQ software (Berman) but no liquid end-members

ПОДРОБНЕЕ ПРО PERPLE_X для магматических систем

Минимизация G методами

Новая база термодинамических данных



METAMORPHIC GEOLOGY

metamorphic Geol., 2011, 29, 333-383

doi:10.1111/j.1525-1314.2010.00923.x

An improved and extended internally consistent thermodynamic dataset for phases of petrological interest, involving a new equation of state for solids

. J. B. HOLLAND AND R. POWELL²

Department of Earth Sciences, University of Cambridge, Cambridge, CB2 3EQ, UK

School of Earth Sciences, The University of Melbourne, Victoria 3010, Australia (powell@unimelb.edu.au)

JOURNAL OF **PETROLOGY**

Journal of Petrology, 2015, Vol. 56, No. 5, 869-892 doi: 10.1093/petrology/egv020 Advance Access Publication Date: 25 May 2015 Original Article

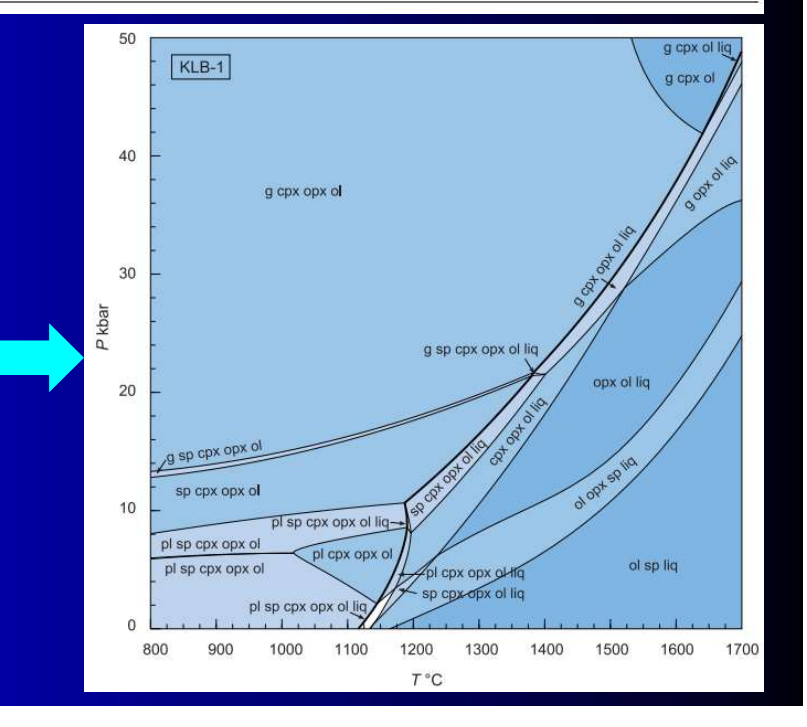
A Simple Thermodynamic Model for Melting of Peridotite in the System NCFMASOCr

Eleanor S. Jennings* and Tim J. B. Holland

Department of Earth Sciences, University of Cambridge, Cambridge CB2 3EQ, UK

*Corresponding author: Telephone: +44 (0)1223 333424. E-mail: esj26@cam.ac.uk

Received August 21, 2014; Accepted April 3, 2015



СУЩЕСТВУЮЩИЕ МОДЕЛИ КРИСТАЛЛИЗАЦИИ

Полуэмпирический подход (итерационное решение систем уравнений равновесия по закону действующих масс для пар минерал - расплав)

- (1) Программы семейства

 КОМАГМАТ (СОМАСМАТ), начиная с
 работ (Арискин, Френкель, 1982;
 Френкель, Арискин, 1984)
- (2) Программы семейства

 PETROLOG, начиная с работы

 (Danyushevsky, Plechov, 2011)
- (3) Программа КриМинал (Бычков, Коптек-Дворников, 2023)

Термодинамическое обоснование алгоритмов дано для программ семейств MELTS, Perple_X и КОМАГМАТ!

 $lnK = \Delta G/RT$



Journal of Volcanology and Geothermal Research 90 (1999) 115-162

Journal of volcanology and geothermal research

ing the user to study r

eles of the use of COM

ails of the model cali

a result, initial mag-

ОСНОВНЫЕ ПУБЛИКАЦИИ ПРО КОМАГМАТ

Phase equilibria modeling in igneous petrology: use of COMAGMAT model for simulating fractionation of ferro-basaltic

magmas and the genesis of high-alumina basalt

Alexei A. Ariskin *

Vernadsky Institute of Geochemistry and Analytical Chemistry, Russian Academy of Sciences, Kosygin st. 19, Moscow, 117 Federation

Received 21 September 1998; accepted 21 January 1999

Abstract

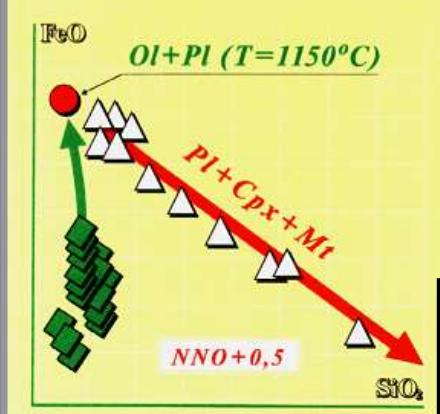
COM

A new version of COMAGMAT-3.5 model designed for computer simulations of equilibrium and fraction

А.А.Арискин, Г.С.Бармина

МОДЕЛИРОВАНИЕ ФАЗОВЫХ РАВНОВЕСИЙ

при кристаллизации базальтовых магм



Gundernities International, Vol. 42, Suppl. 1, 2004, pp. 53-61557. Original Equation Deal Copyright C 2006 by Anistic, Economic. English Translation Copyright C 2006 by SAIE "Annia Chicaportadica" (Faunta

Abstract—This public

cation of computer mo intermediate compositi given in detail, including

fect and partial magni-

COMAGMAT: Development of a Magma Crystallization Model and Its Petrological Applications

A. A. Ariskin and G. S. Barmina

Vermadsky Institute of Geochemistry and Analytical Chemistry, Russian Academy of Sciences, ul. Kosygina 19, Moscow, 119991 Russia

JOURNAL OF

PETROLOGY

Journal of Petrology, 2018, Vol. 59, No. 2, 283–298 doi: 10.1093/petrology/egy026

Advance Access Publication Date: 1 March 2018 Original Article

OXFORI

The COMAGMAT-5: Modeling the Effect of Fe-Ni Sulfide Immiscibility in Crystallizing Magmas and Cumulates

Alexey A. Ariskin^{1,2}*, Kirill A. Bychkov¹, Georgy S. Nikolaev² and Galina S. Barmina²

ПЕТРОЛОГИЯ, 2023, том 31, № 5, с. 552-569

УЛК 549.324.35.552.18 (571.53/55)550.42.552.311

ОБНОВЛЕННЫЙ КОМАГМАТ-5: МОДЕЛИРОВАНИЕ ЭФФЕКТОВ ВЫДЕЛЕНИЯ СУЛЬФИДОВ ПРИ КРИСТАЛЛИЗАЦИИ АЛЮМОХРОМИСТОЙ ШПИНЕЛИ

© 2023 г. А. А. Арискин^{а, b, *}, К. А. Бычков^с, Г. С. Николаев^b, Г. С. Бармина^b

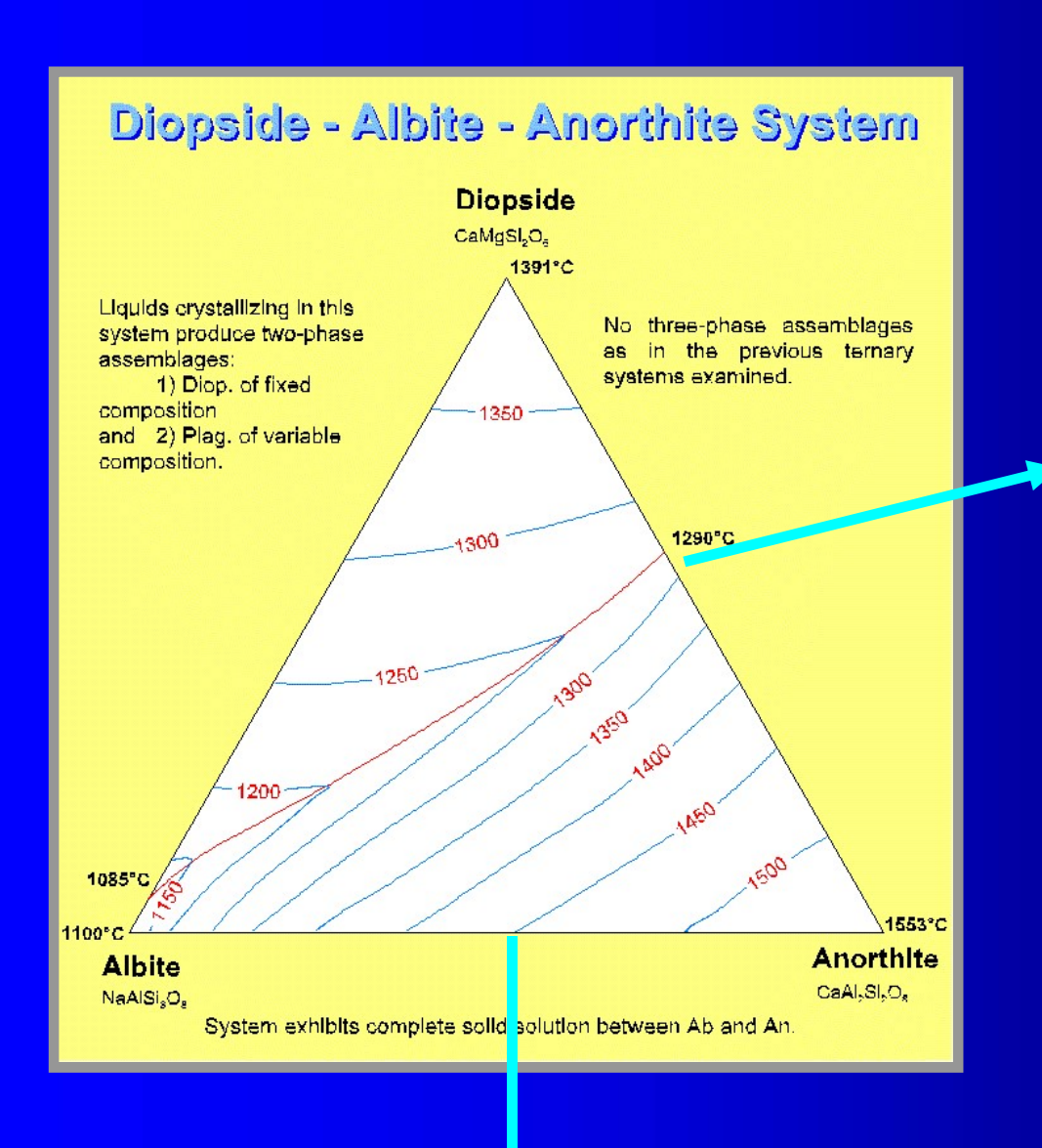
^а Московский государственный университет им. М.В. Ломоносова, Москва, Россия ^b Институт геохимии и аналитической химии им. В.И. Вернадского РАН, Москва, Россия

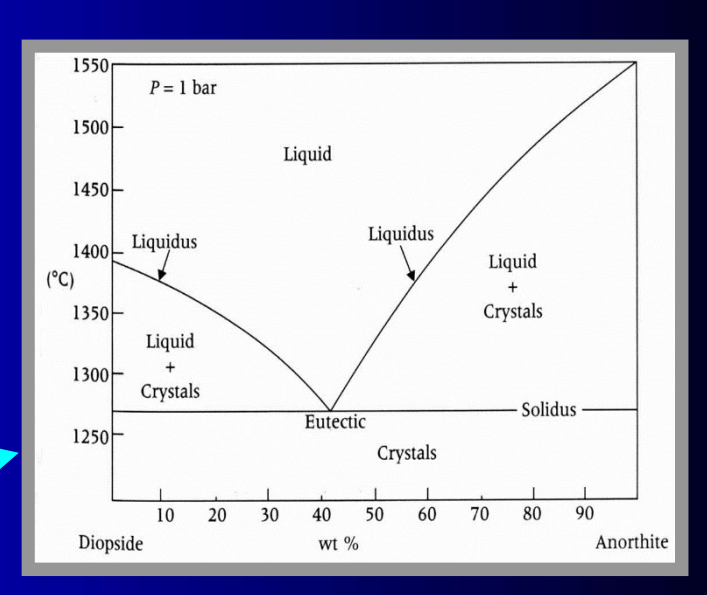
чии и иналитической химии им. Б.н. Бернаоского FAII, Москва, Росс с ООО "Мюон", Москва, Россия

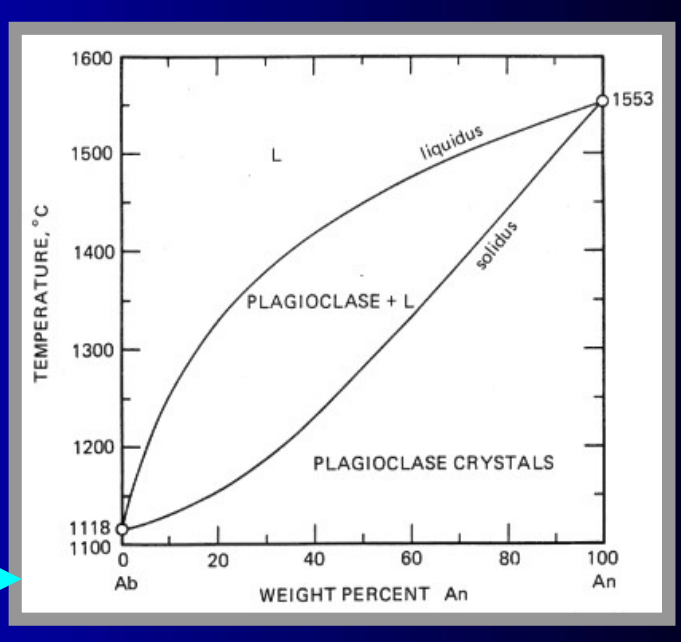
*e-mail: ariskin@rambler.ru

ТЕРМОДИНАМИЧЕСКИЕ ОСНОВЫ И ПРИНЦИПЫ КАЛИБРОВКИ МОДЕЛИ КОМАГМАТ

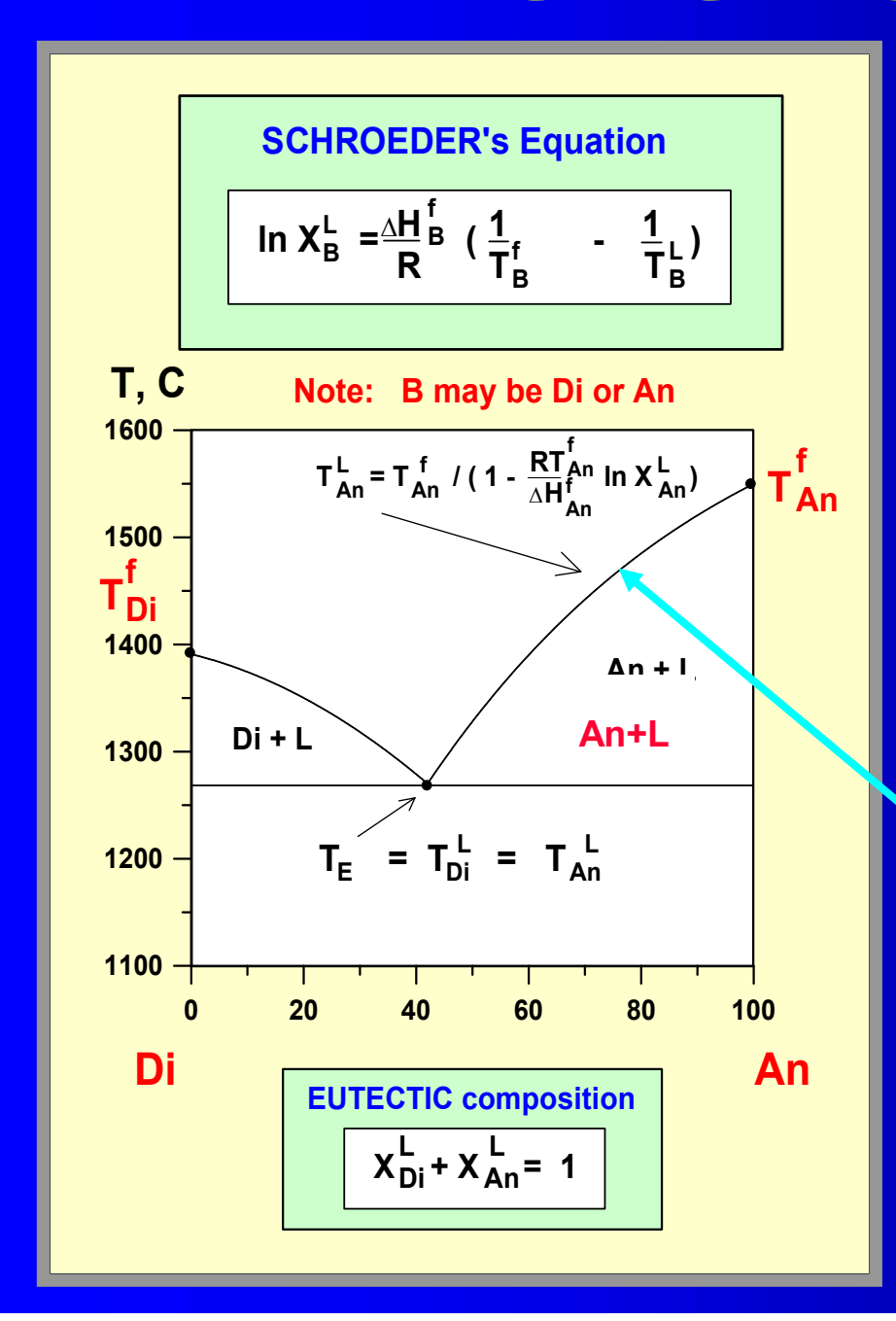
Термодинамическая трактовка системы Di-Ab-An







ОПИСАНИЕ ЭВТЕКТИЧЕСКОЙ СИСТЕМЫ DI-AN



УРАВНЕНИЕ ШРЕДЕРА:

Х_в^L - содержание *Di* и *An* в расплаве,

 $\Delta H_{B}^{\ f}$ - мольные теплоты плавления чистого Di и An,

Т_в ^f - температуры плавления этих компонентов;

R - газовая постоянная.

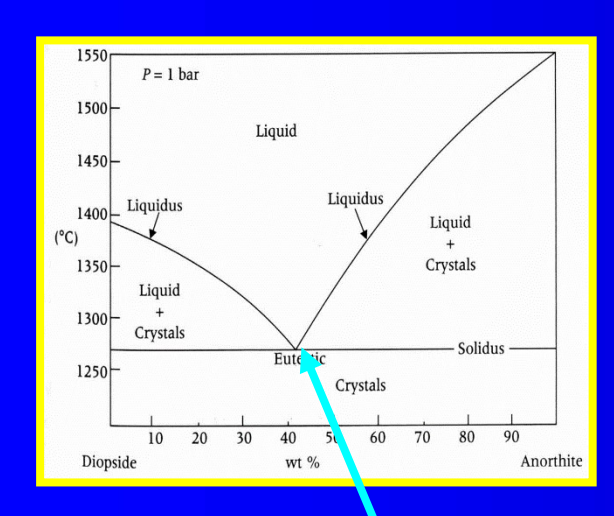
Значение Т_в представляет температуру ликвидусных кривых для *Di* или *An*:

$$T_{An}^{L} = Func(X_{An}^{L}, \Delta H_{An}^{f}, T_{An}^{f})$$

$$T_{Di}^{L} = Func(X_{Di}^{L}, \Delta H_{Di}^{f}, T_{Di}^{f})$$

Описание эвтектической системы Di-An

Температуры ликвидуса:



$$T_{An}^{L} = T_{An}^{nnae} / [1 - (RT_{An}^{nnae}/\Delta H_{An}^{nnae})] \ln X_{An}^{L}]$$

$$T_{Di}^{\ L} = T_{Di}^{\ nnae} / [1 - (R T_{Di}^{\ nnae} / \Delta H_{Di}^{\ nnae}) ln X_{Di}^{\ L}]$$

Пересечению двух этих температурных линий отвечает равенство температур кристаллизации *Di* и *An* в эвтектической точке:

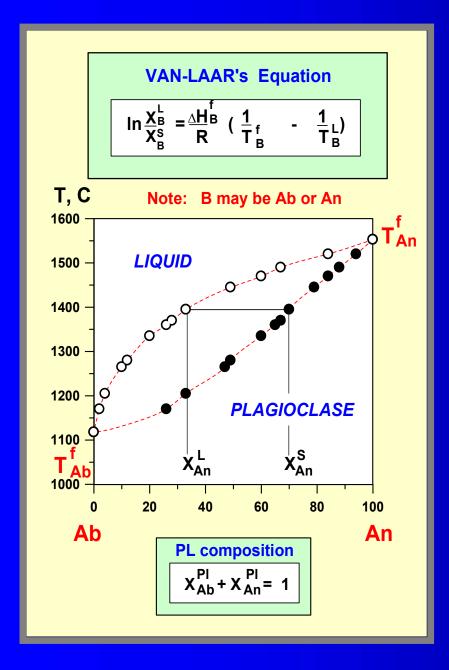
$$T_{An}^{L} = T_{Di}^{L}$$

Если к этому равенству добавить условие баланса масс в расплаве, содержащем только *Di* и *An*:

$$X_{An}^{L} + X_{Di}^{L} = 1$$

можно решить систему относительно $X_{An}{}^L = 1$ - $X_{Di}{}^L$ или $X_{Di}{}^L = 1$ - $X_{An}{}^L$

ОПИСАНИЕ ТВЕРДОГО РАСТВОРА В СИСТЕМЕ AB-AN



УРАВНЕНИЕ ВАН-ЛААРА:

Х_в^L - содержание *Ab* и *An* в расплаве,

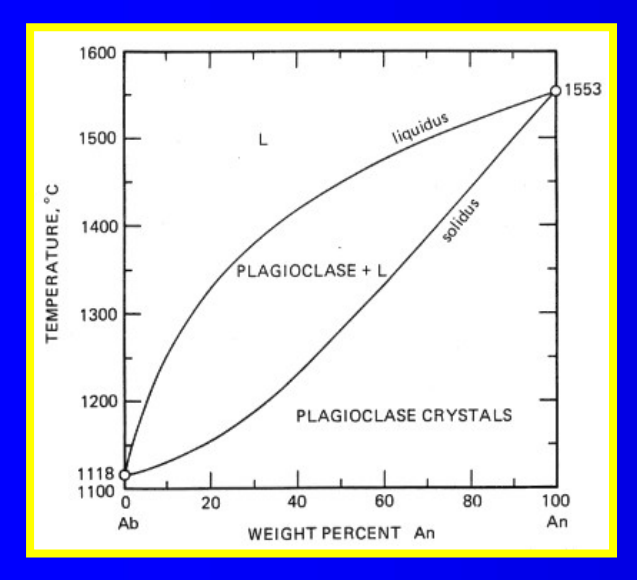
Х_в^s -содержание *Ab* и *An* в плагиоклазе,

 $\Delta H_B^{\ f}$ мольные теплоты плавления чистого Ab и An,

Т_в ^f - температуры плавления этих компонентов.

X_B^L/ X_B^S = K – константа равновесия, характеризующая распределение **Ab** или **An** между расплавом и кристаллами плагиоклаза

Описание бинарной системы с твердыми растворами Ab-An



$$K_{An} = (X_{An}^{L} / X_{An}^{Pl})$$

$$K_{Ab} = (X_{Ab}^{L} / X_{Ab}^{Pl})$$

Температуры ликвидуса:

$$T_{An}^{L} = T_{An}^{nnae} / [1 - (RT_{An}^{nnae}/\Delta H_{An}^{nnae}) ln K_{An}]$$

$$T_{Ab}^{\ \ L} = T_{Ab}^{\ \ \ nnae} / [1 - (R T_{Ab}^{\ \ \ nnae} / \Delta H_{Ab}^{\ \ nnae})] \ln K_{Ab}]$$

Пересечение двух этих температурных кривых отвечает равенство температур кристаллизации Ab и An на линии ликвидуса плагиоклаза:

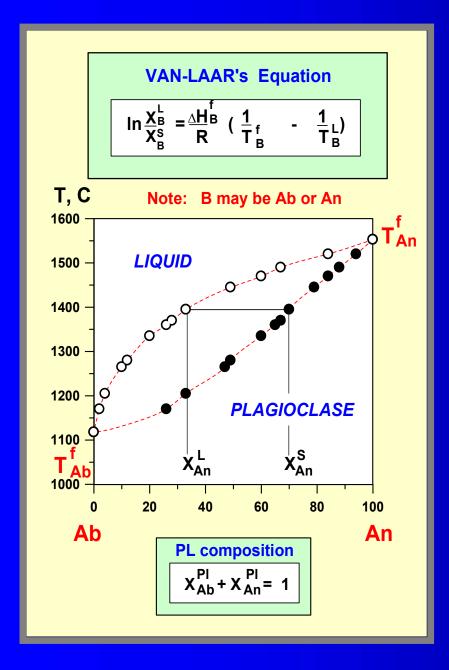
$$T_{An}^{L} = T_{Ab}^{L}$$

Если к этому равенству добавить условие баланса масс в расплаве и Pl, содержащим только Ab и An:

$$X_{An}^{L} + X_{Ab}^{L} = 1, X_{An}^{Pl} + X_{Ab}^{Pl} = 1$$

можно решить систему относительно $X_{An}{}^{L} = 1 - X_{Ab}{}^{L}$ или $X_{Ab}{}^{L} = 1 - X_{An}{}^{L}$ и состава Pl.

ОПИСАНИЕ ТВЕРДОГО РАСТВОРА В СИСТЕМЕ AB-AN



УРАВНЕНИЕ ВАН-ЛААРА:

Х_в^L - содержание *Ab* и *An* в расплаве,

Х_в^s -содержание *Ab* и *An* в плагиоклазе,

 $\Delta H_B^{\ f}$ мольные теплоты плавления чистого Ab и An,

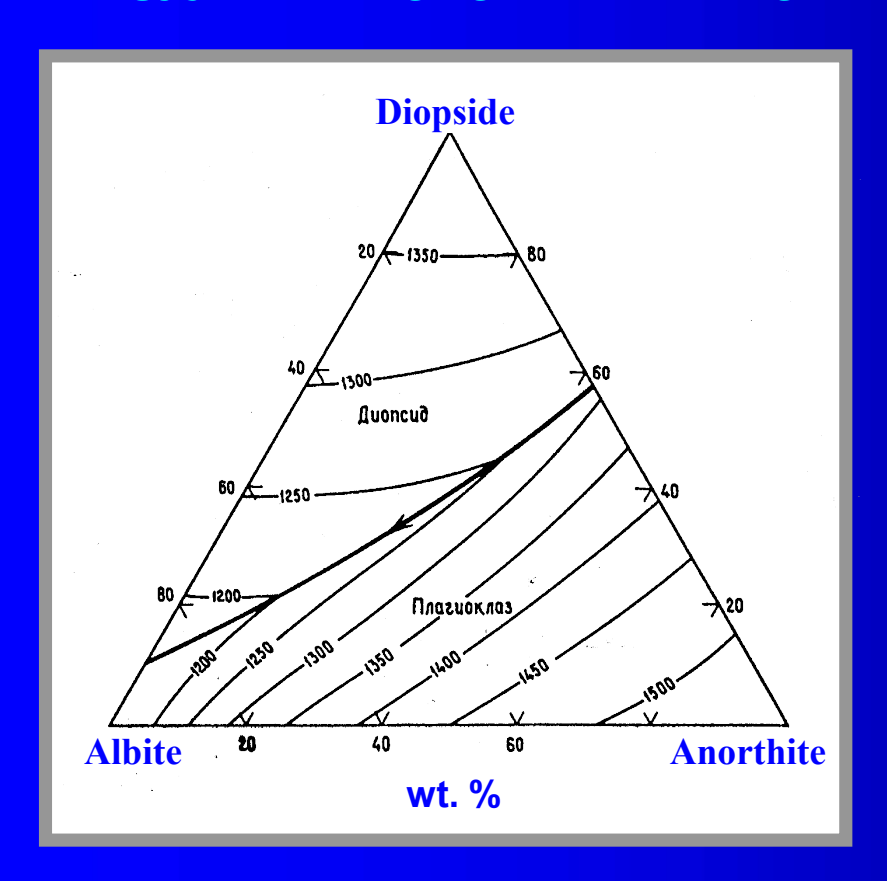
Т_в ^f - температуры плавления этих компонентов.

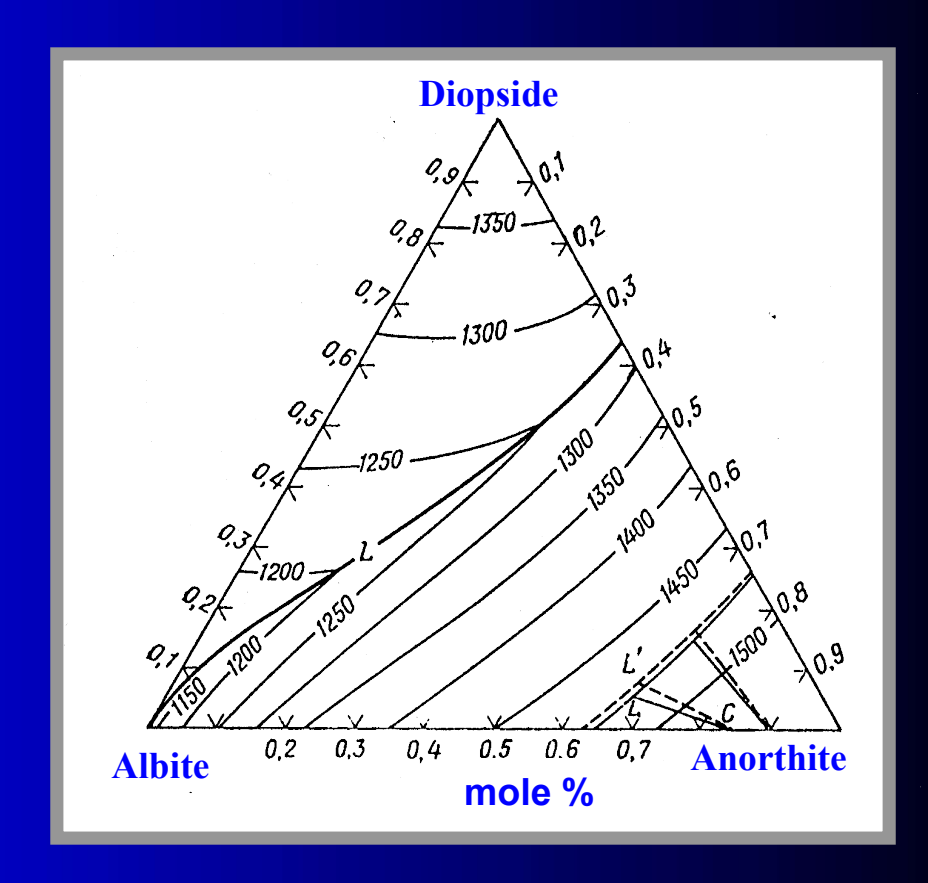
X_B^L/ X_B^S = K – константа равновесия, характеризующая распределение **Ab** или **An** между расплавом и кристаллами плагиоклаза

ПРИМЕР РАСЧЕТА ФАЗОВОЙ ДИАГРАММЫ DI-AB-AN

РЕЗУЛЬТАТЫ ЭКСПЕРИМЕНТОВ

РЕЗУЛЬТАТЫ ВЫЧИСЛЕНИЙ

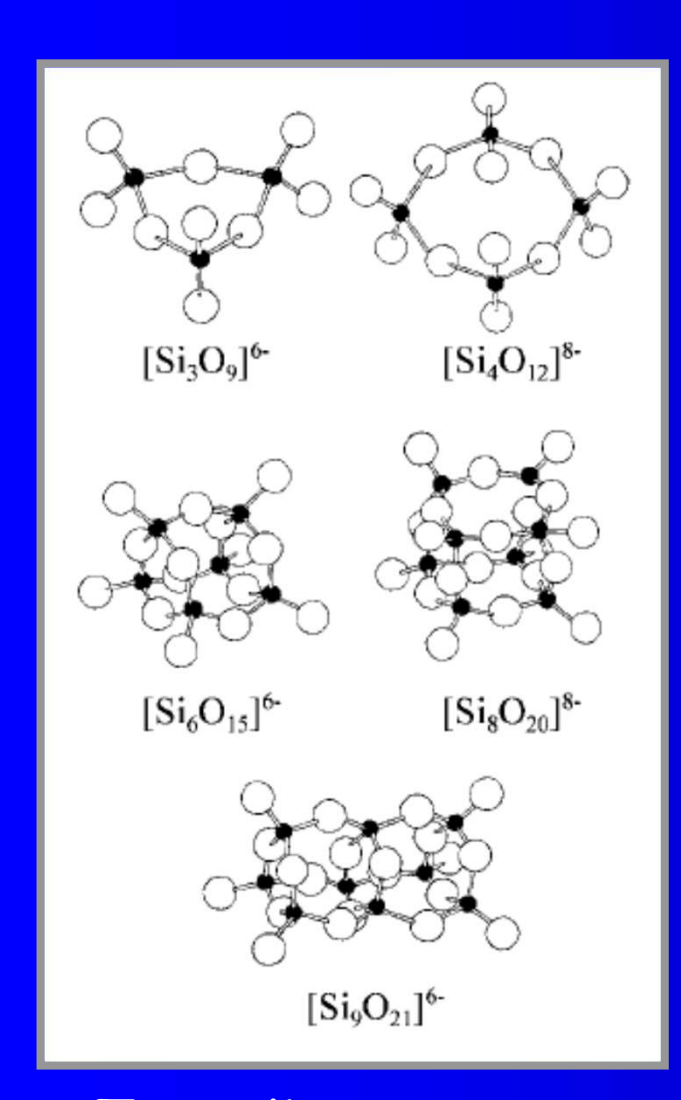




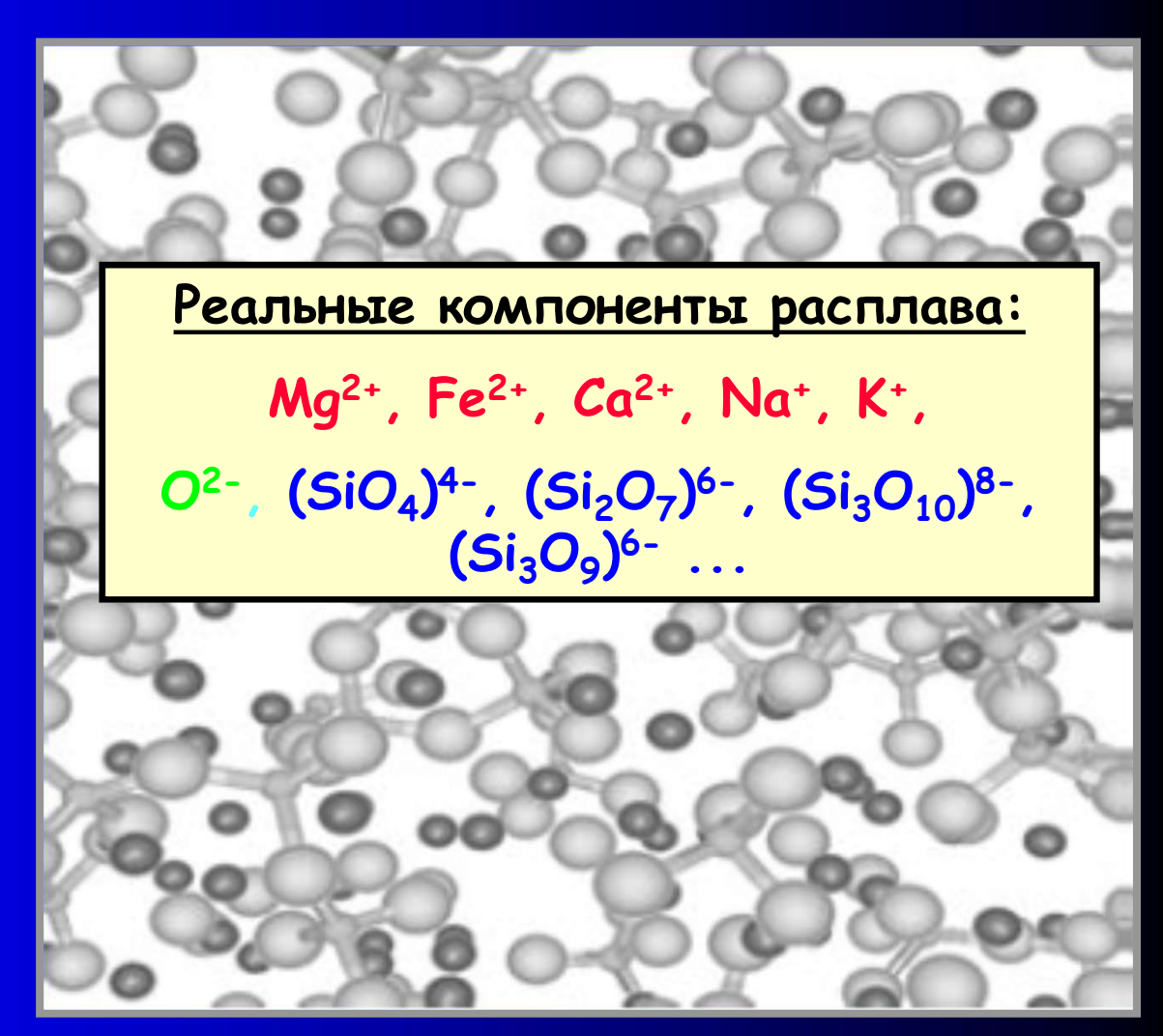
Параметры расчетов: $T_{Di}^{f} = 1663 \text{ °K}, T_{An}^{f} = 1823 \text{ °K}, T_{Ab}^{f} = 1370 \text{ °K}$

 $\Delta H_{Di}^{\ \ f} = 23$ ккал/моль, $\Delta H_{An}^{\ \ f} = 29$ ккал/моль, $\Delta H_{Ab}^{\ \ f} = 13$ ккал/моль

СТРОЕНИЕ СИЛИКАТНЫХ РАСПЛАВОВ

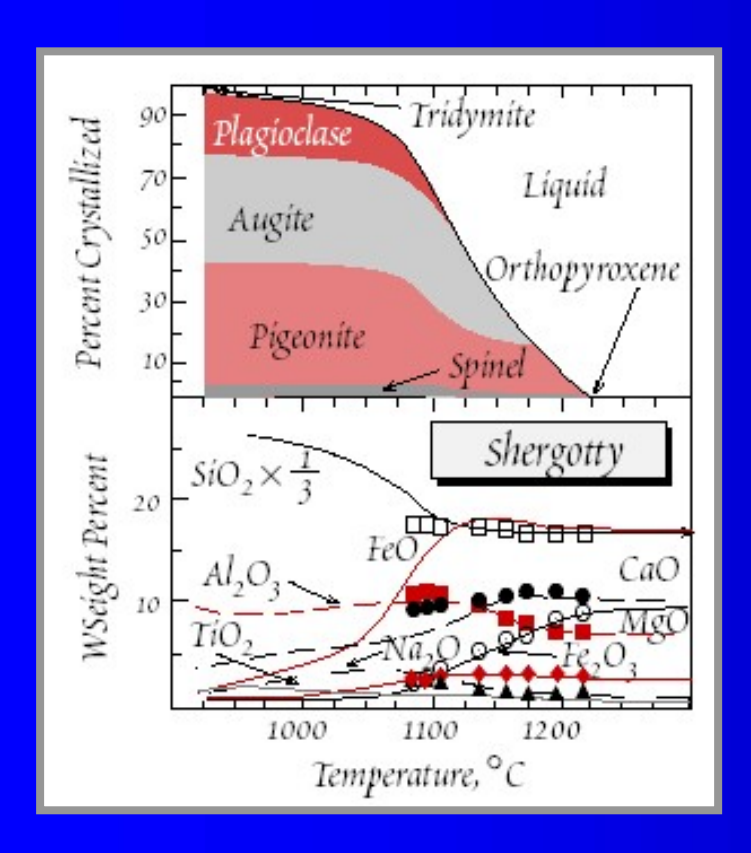


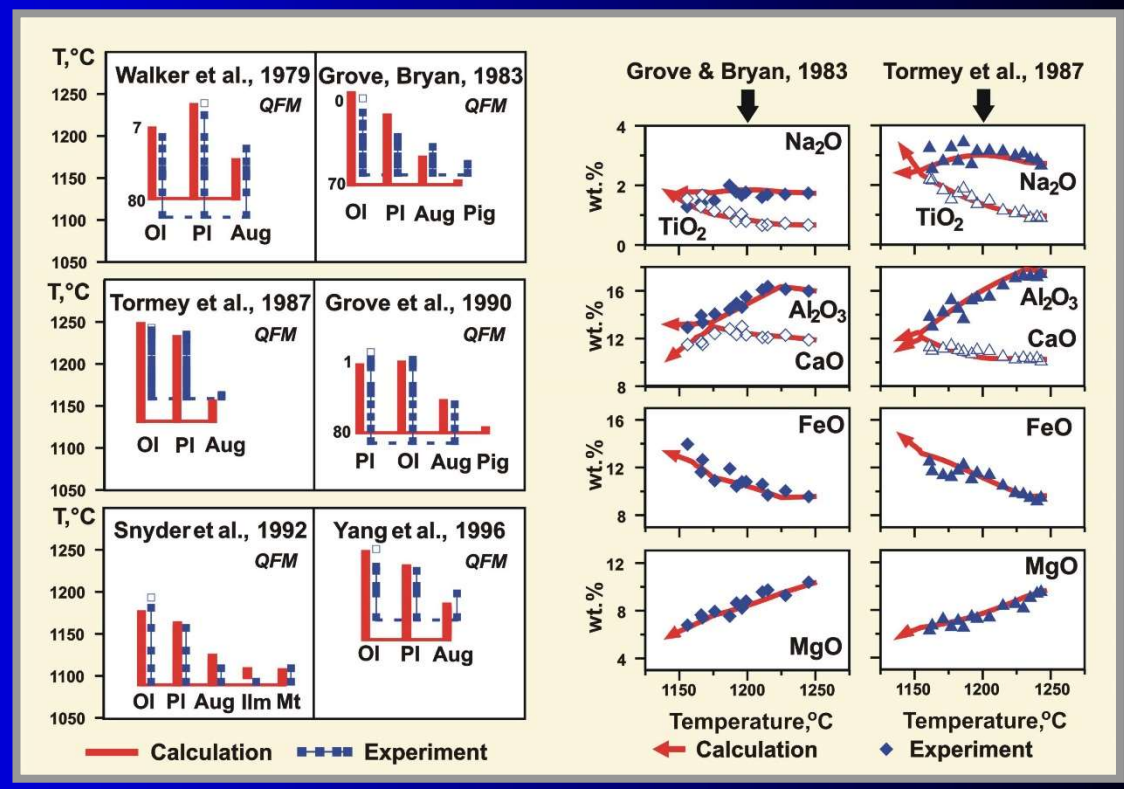
Простейшие кольца (Bockris, 1955)



Фрагмент структуры К₂SiO₃ при 2000 К (О - крупные и Si - мелкие белые шары, К - темные шарики)

ПРОБЛЕМА ВЫБОРА КОМПОНЕНТОВ РАСПЛАВА





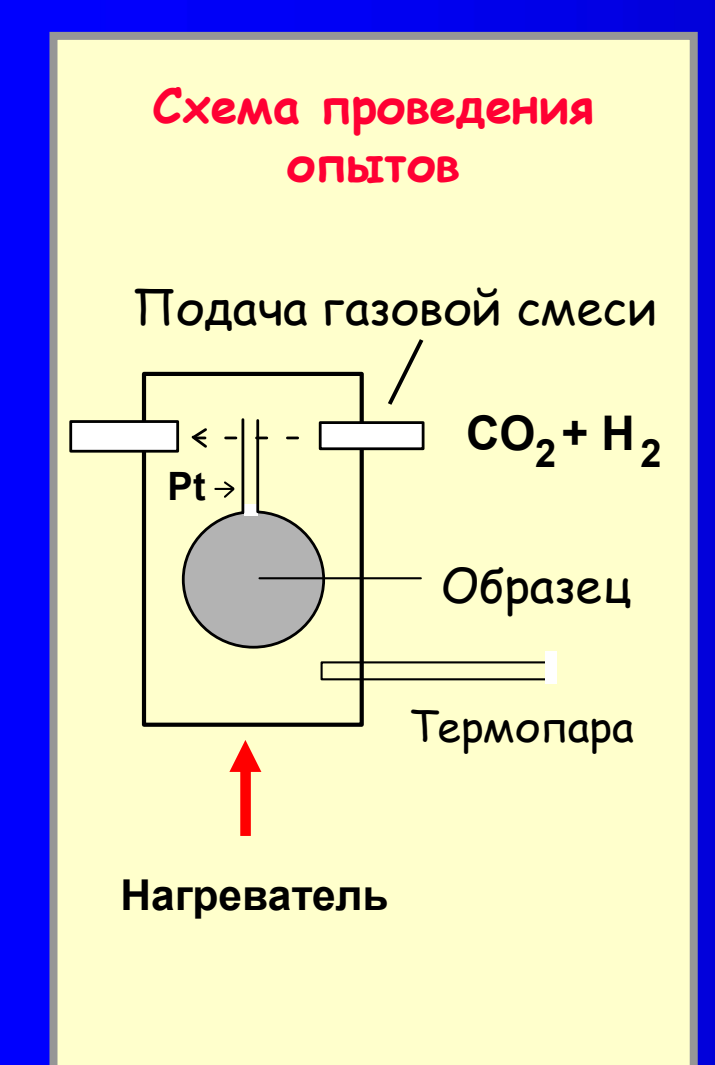
MELTS (Ghiorso, 1997)

Компоненты расплава: SiO_2 , Al_2O_3 , Mg_2SiO_4 , $CaSiO_3$, Na_2SiO_3 , $Ca_3(PO_4)_2$ и др.

KOMAFMAT (Ariskin et al., 1993)

Компоненты расплава: SiO_2 , $AlO_{1.5}$, MgO, CaO, $NaAlO_2$ и др.

ЭКСПЕРИМЕНТАЛЬНОЕ ПЛАВЛЕНИЕ ПРИРОДНЫХ ОБРАЗЦОВ ПРИ АТМОСФЕРНОМ ДАВЛЕНИИ ("метод петли")





ОТ КОНСТАНТ РАВНОВЕСИЯ РЕАКЦИЙ КРИСТАЛЛИЗАЦИИ К ЭМПИРИЧЕСКИМ ГЕОТЕРМОМЕТРАМ В ФОРМЕ КОЭФФИЦИЕНТОВ РАСПРЕДЕЛЕНИЯ МИНЕРАЛ - РАСПЛАВ

КОНСТАНТЫ РАВНОВЕСИЯ ПЛАГИОКЛАЗ - РАСПЛАВ

$$K_{An} = X_{An}^{Pl} / X_{An}^{L}$$

$$K_{CaO} = X_{CaO}^{Pl} / X^{L}$$

КОНСТАНТЫ РАВНОВЕСИЯ ОЛИВИН - РАСПЛАВ

$$K_{Fo} = X_{Fo}^{Ol} / X_{Fo}^{L}$$

$$K_{MgO} = X_{MgO}^{Ol} / X^{L}_{MgO}$$

Форма геотермометров:

$$\ln K = A / T + B + C$$

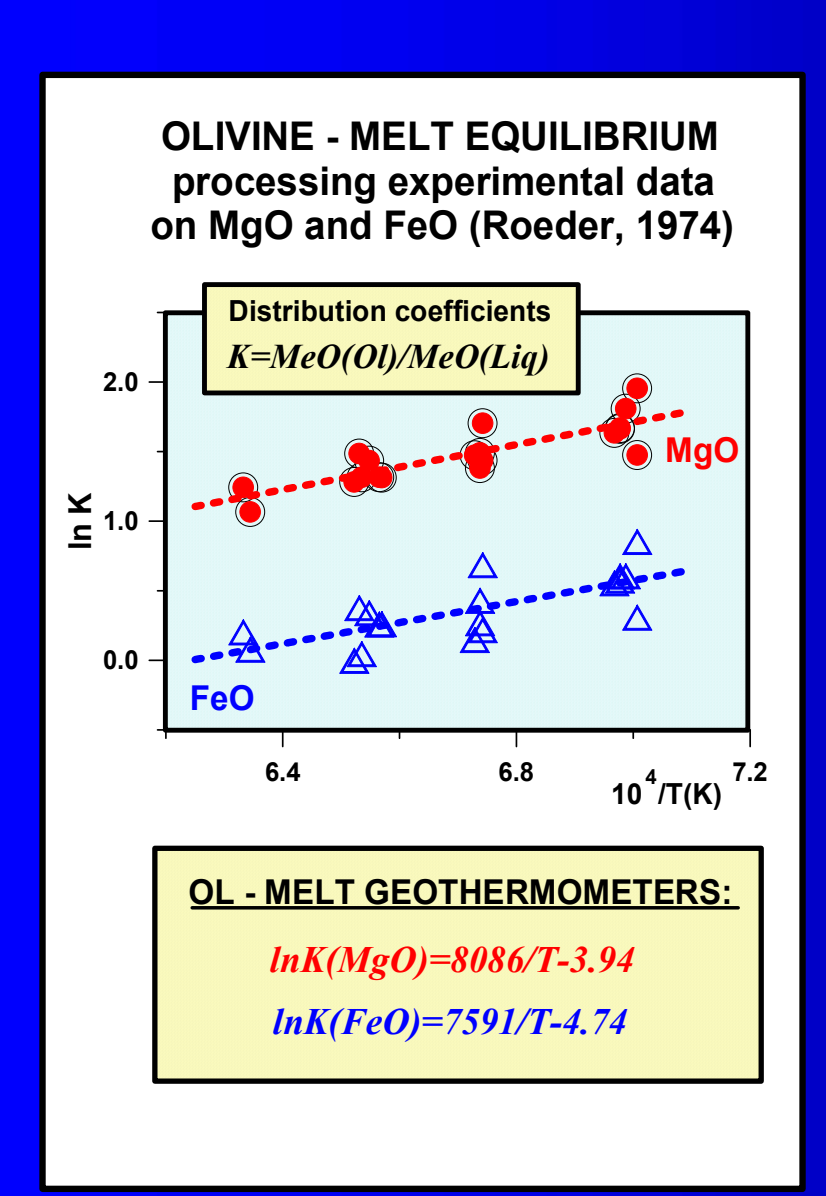
А, В, и С – эмпирически калиброванные константы,

Т – температура равновесия



Константы такого вида используются для калибровки эмпирических уравнений, получивших название геотермометров минерал - расплав.

ПЕРВЫЕ ГЕОТЕРМЕТРЫ ОЛИВИН - РАСПЛАВ (Roeder & Emslie, 1970 и Roeder, 1974)



$$K_{MgO}^{OL} = \frac{X_{MgO}^{OL}}{X_{MgO}^{L}}, K_{FeO}^{OL} = \frac{X_{FeO}^{OL}}{X_{FeO}^{L}}$$

$$\downarrow$$

$$\ln K_{MgO}^{OL} = A_{1} / T + B_{1}$$

$$\ln K_{FeO}^{OL} = A_{2} / T + B_{2}$$

$$\downarrow$$

$$X_{MgO}^{OL} = X_{MgO}^{L} \exp(A_{1} / T + B_{1})$$

$$X_{FeO}^{OL} = X_{FeO}^{L} \exp(A_{2} / T + B_{2})$$

$$X_{MgO}^{OL} + X_{FeO}^{OL} = 0.667$$

<u>итог:</u> T_{OL} = f (состава расплава)

ОТ ПРОСТЫХ ГЕОТЕРМОМЕТРОВ К СЛОЖНЫМ

КОНСТАНТЫ РАВНОВЕСИЯ ПЛАГИОКЛАЗ - РАСПЛАВ

$$K_{CaO} = X_{CaO}^{Pl} / X_{CaO}^{L} \longrightarrow K_{An} = X_{An}^{Pl} / [X_{CaO}^{L} X_{Al2O3}^{L} (X_{SiO2}^{L})^{2}]$$

КОНСТАНТЫ РАВНОВЕСИЯ ОЛИВИН - РАСПЛАВ

$$K_{Mg0} = X_{Mg0}^{Ol} / X_{Mg0}^{L}$$
 \longrightarrow $K_{Fo} = X_{Fo}^{Ol} / [(X_{Mg0}^{L})^2 X_{SiO2}^{L}]$

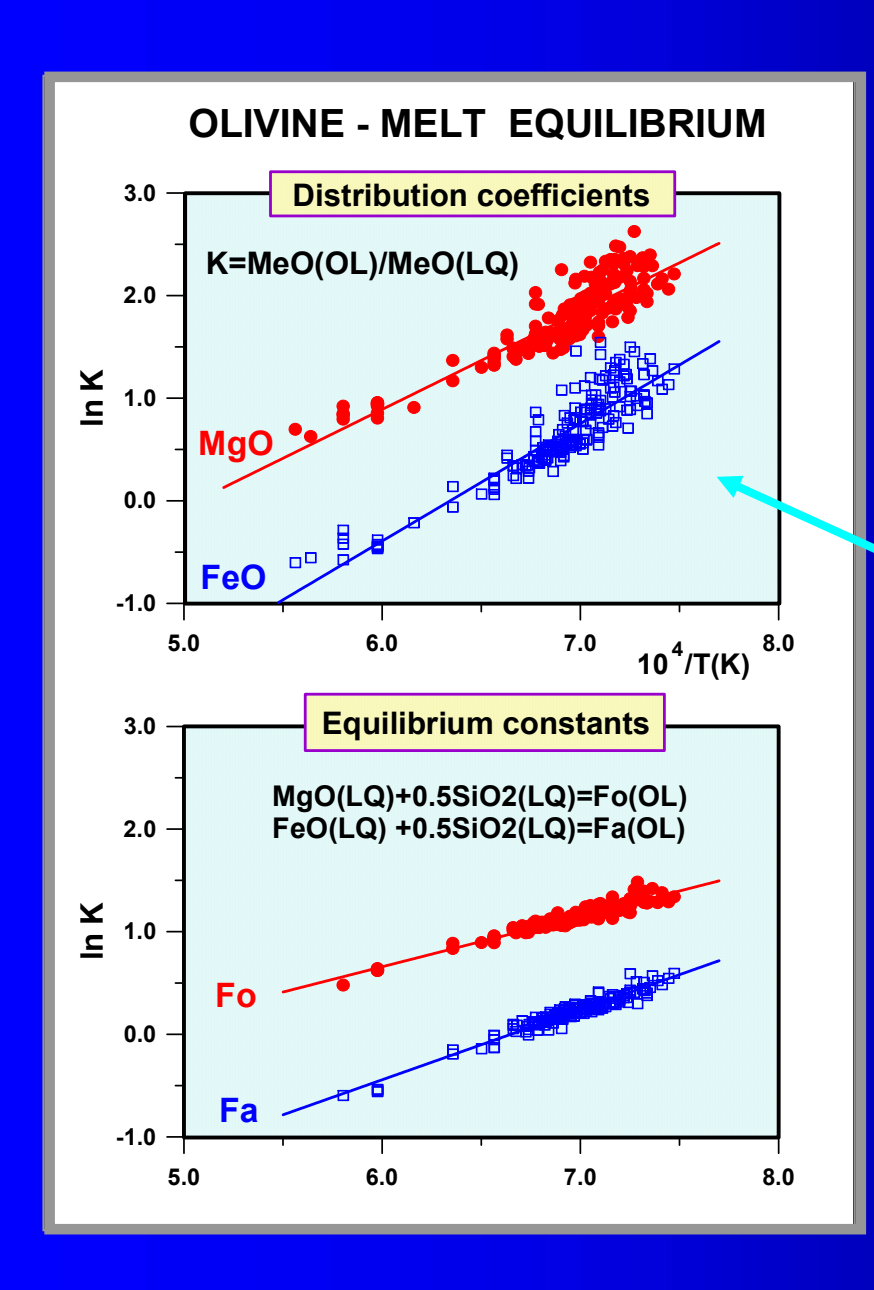
Форма сохраняется:

 $\ln K = A / T + B + C,$

но меняется смысл константы распределения!

К – константа равновесия химической реакции, которая описывает кристаллизацию минералообразующих компонентов из расплава.

ПРИМЕРЫ НОВЫХ ОЛИВИНОВЫХ ГЕОТЕРМОМЕТРОВ



Здесь вновь используются результаты обработки массива экспериментальных данных, включающих составы оливина и расплава, равновесных при данной температуре.

Сначала они использованы для расчета мольных коэфициентов распределения.

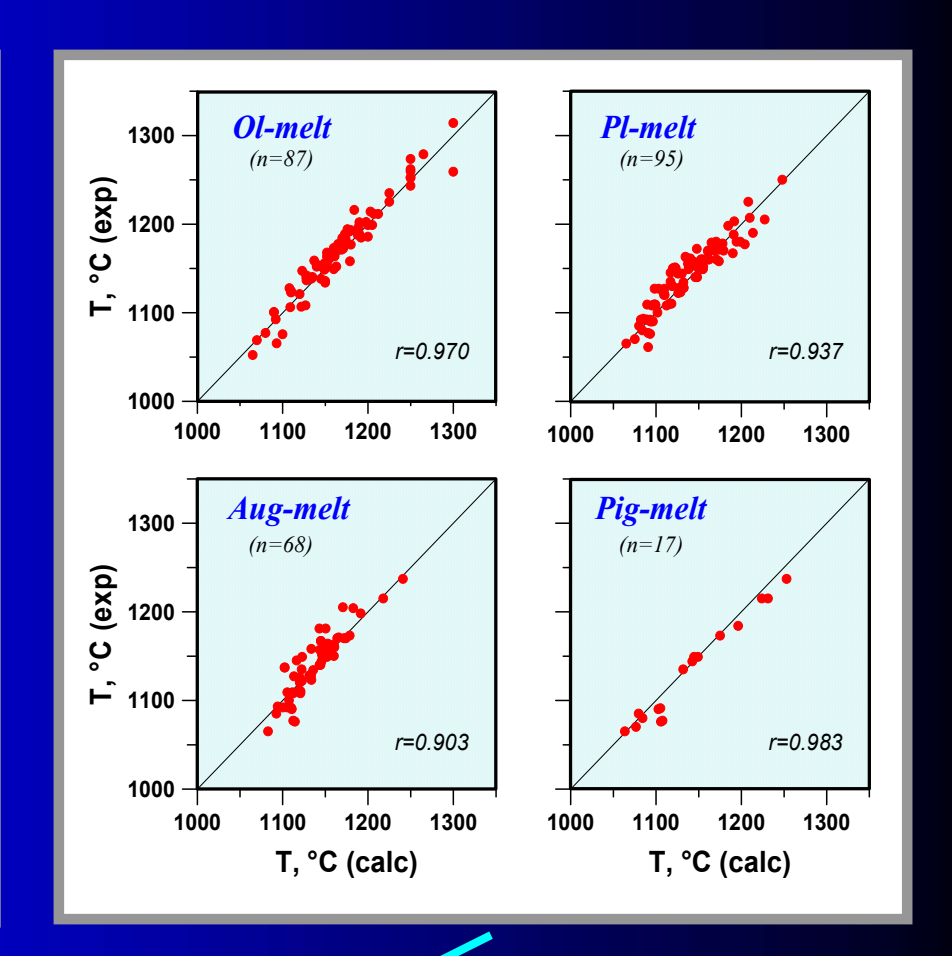
Затем логарифмы этих значений представлены как функция обратной температуры 1/T.

Нижний график представляет результаты таких построений для термодинамических констант равновесия оливин – расплав.

ГЛАВНЫЕ ГЕОТЕРМОМЕТРЫ МИНЕРАЛ – РАСПЛАВ, использованные при разработке модели КОМАГМАТ

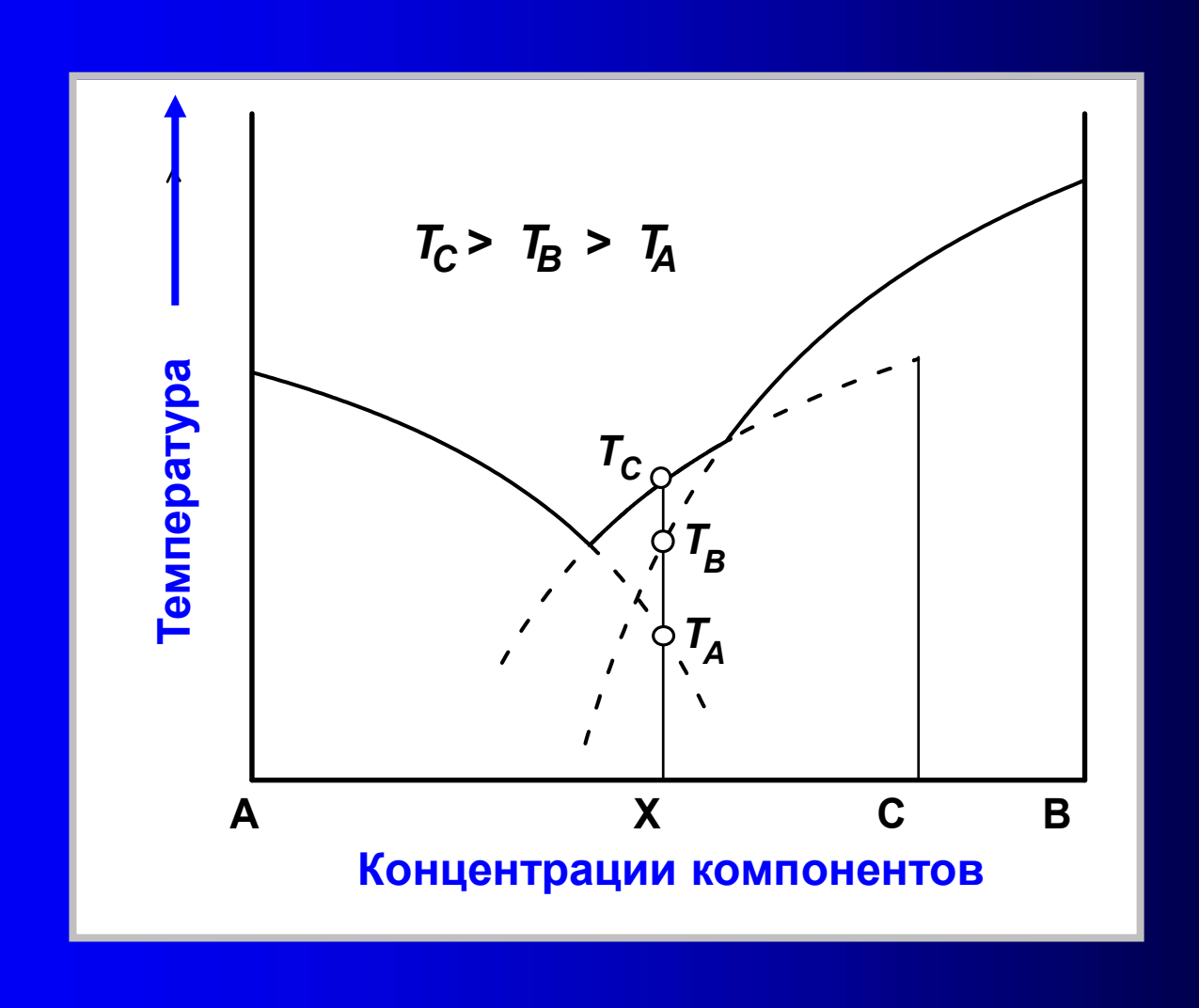
Mineral	Comp	Calibrated equations	n	Ref
<i>Ol</i>	Fo	$\ln K = 5543 / T - 2.32 + 0.210 \ln (Al/Si)$	67	Ariskin et
	Fa	$\ln K = 6547 / T - 4.22 + 0.084 \ln (Al/Si)$		al., 1993
Pl	An	$\ln K = 10641 / T - 1.32 + 0.369 \ln R$	58	Ariskin &
	Ab	$\ln K = 11683 / T - 6.16 - 0.119 \ln R$		Barmina, 1990
Aug	En	ln K = 8521 / T - 5.16	25	Ariskin e
	Fs	$\ln K = 13535 / T - 9.87$		al., 1987
	Wo	$\ln K = 2408 / T - 1.24$		
	A10 _{1.5}	D = 0.20		
Pig	En	$\ln K = 8502 / T - 4.74$	18	Ariskin e
	Fs	$\ln K = 5865 / T - 4.04$		al., 1987
	Wo	$\ln K = 4371 / T - 4.02$		
	AlO _{1.5}	D = 0.10		
Opx I	En	$\ln K = 7208 / T - 3.71$	39	[Bolikhov
	Fs	$\ln K = 6386 / T - 4.39$		skaya et
	Wo	$\ln K = 11950 / T - 10.40$		al., 1996]
	AlO _{1.5}	D = 0.10		

Notes. $R = \ln [(Na + K) A1 / Si^2].$



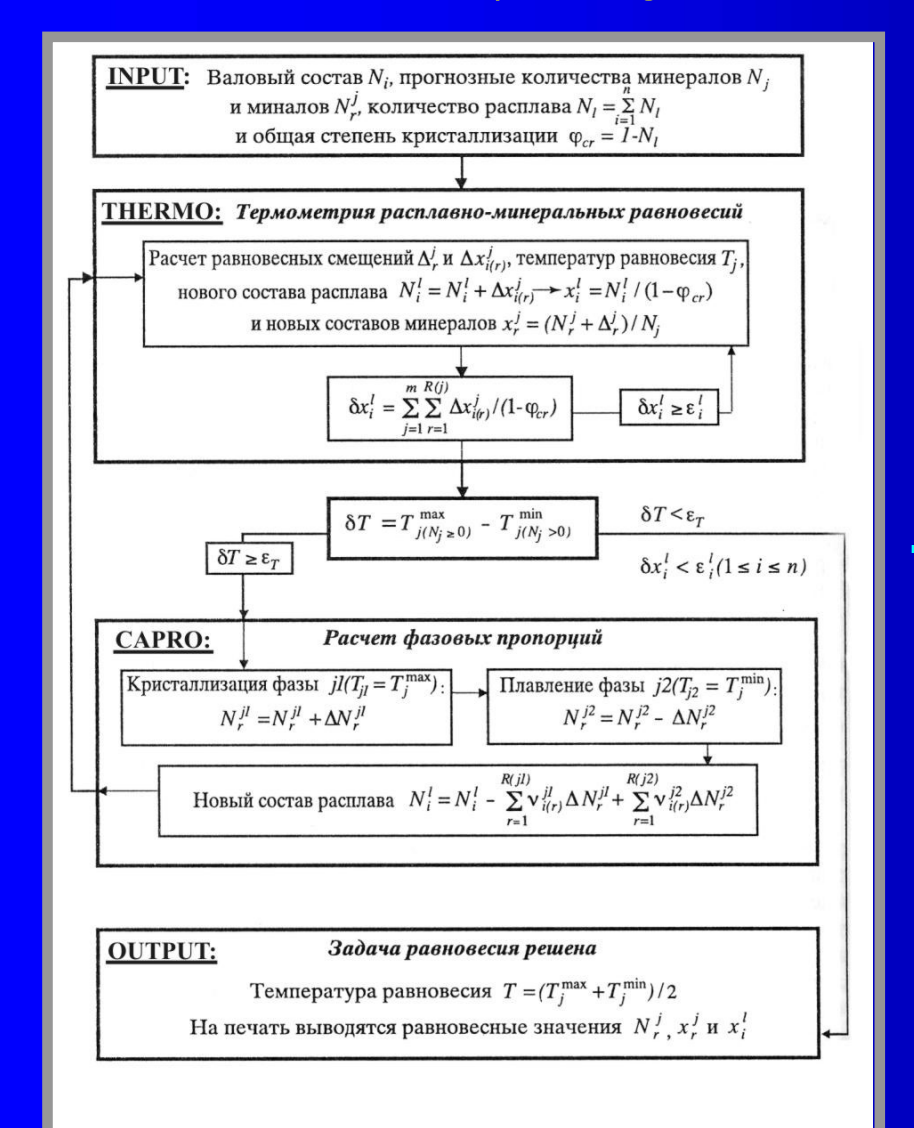
Эти зависимости позволяют воспроизводить экспериментальные температуры с точностью 10-15°C.

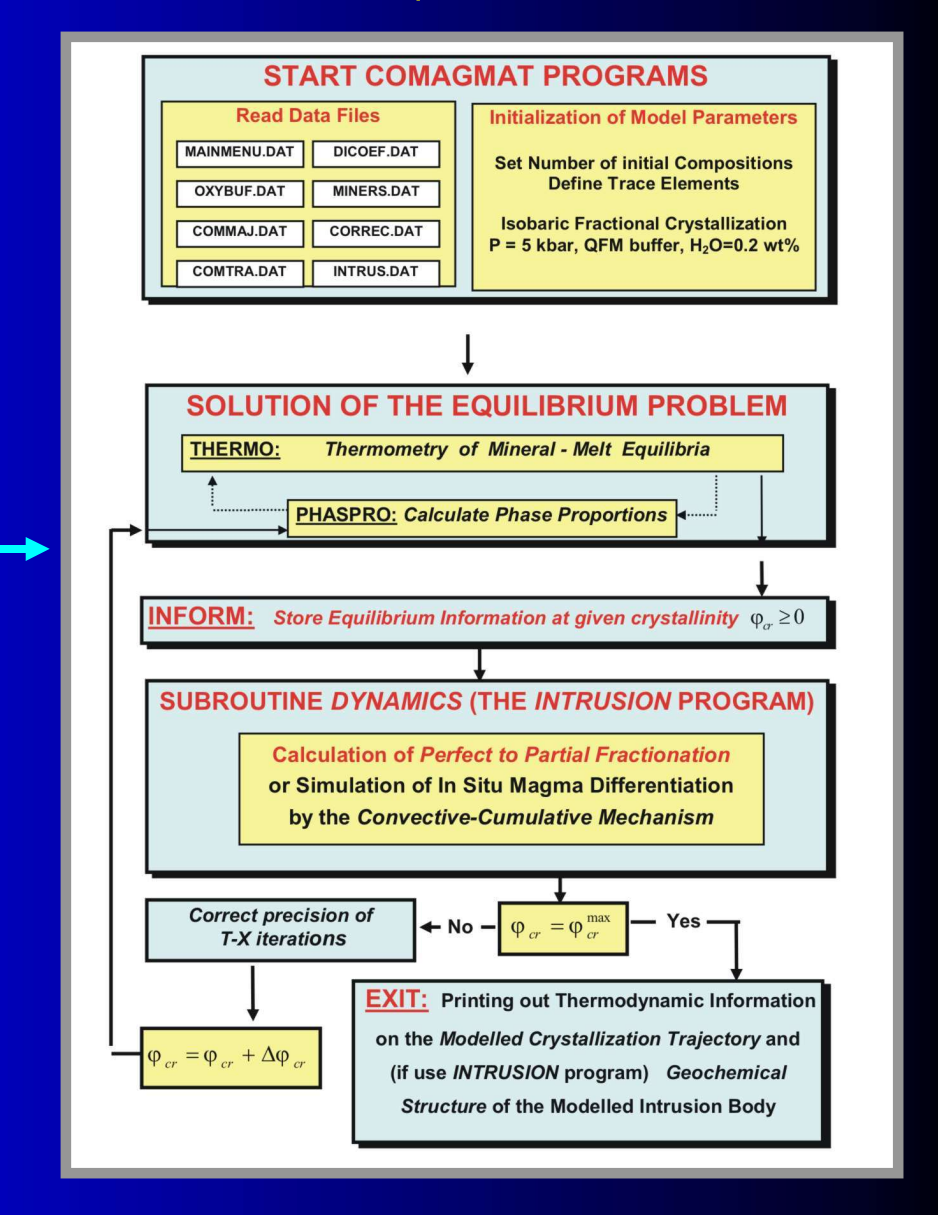
СХЕМА СООТНОШЕНИЙ ТЕМПЕРАТУР ЛИКВИДУСА В СИСТЕМЕ С РЕАКЦИОННОЙ ТОЧКОЙ



СТРУКТУРА ПРОГРАММЫ КОМАГМАТ

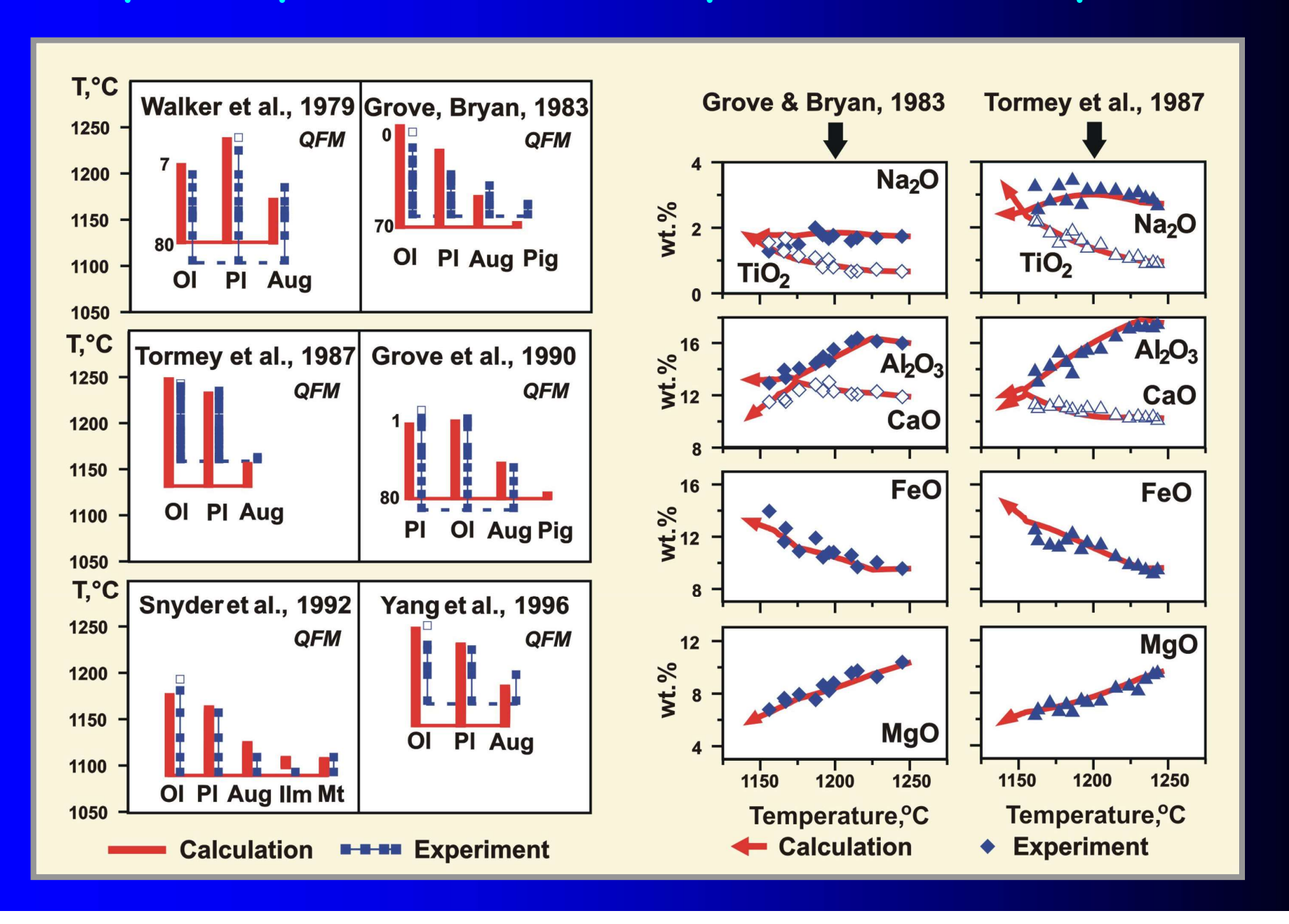
(http://geo.web.ru/~ariskin//index.html)





ПРИМЕРЫ ПРЕДСТАВЛЕНИЯ РЕЗУЛЬТАТОВ РАСЧЕТОВ

порядок кристаллизации и вариационные диаграммы



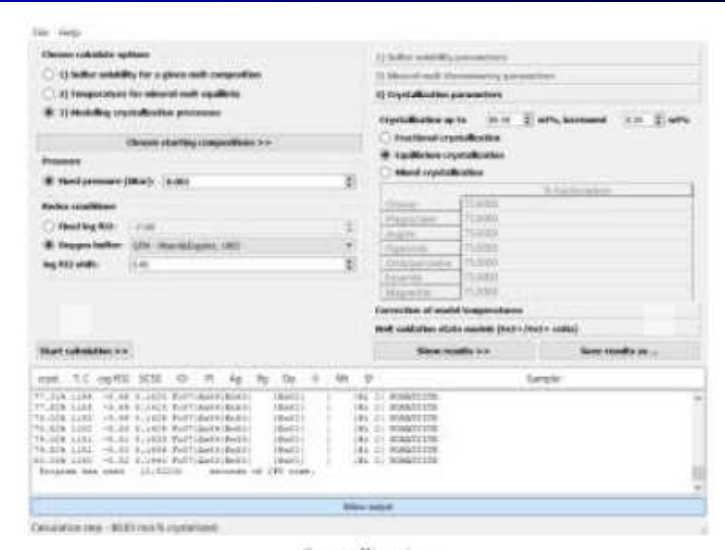
Где взять КОМАГМАТ (СОМАБМАТ)?

https://comagmat.web.ru/apps-comaghmat.html

COMAGMAT 5

Calculations of equilibrium and fractional crystallization of S-saturated and S-undersaturated magmas, including changes in the Fe/Ni ratio in silicate melts, femic minerals, and coexisting sulfides, as well as sulfide-silicate (±Fe-Ti oxides) proportions for multiple-saturated mineral assemblages.





Crystallization
Simulate equilibrium and fractional crystallization

COMAGMAT 5

Calculations of equilibrium and fractional crystallization of S-saturated and S-undersaturated magmas, including changes in the Fe/Ni ratio in silicate melts, femic minerals, and coexisting sulfides, as well as sulfide-silicate (±Fe-Ti oxides) proportions for multiple-saturated mineral assemblages.

View details »

COMAGMAT 3

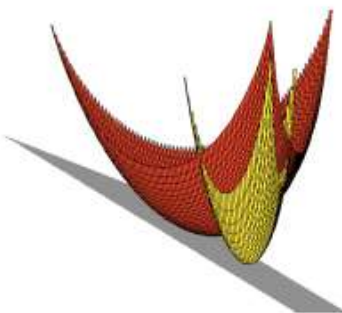
Calculations of equilibrium and fractional crystallization for dry and hydrous natural magmas in the range of pressures from 1 atm to 10-12 kbar and including both open (12 oxygen buffers) and closed system fractionation with respect to oxygen. Simulating formation of layered intrusions.

Сходства и различия версий 3.хх и 5.хх https://comagmat.web.ru/apps-comaghmat.html

Features

	COMAGMAT 5.x	COMAGMAT 3.x
Calculations of equilibrium and fractional crystallization of S-saturated and S-undersaturated magmas	0	•
Improved precision of calculations at low contents of melt components	0	0
Variable models for melt oxidation state (Fe ²⁺ /Fe ³⁺ ratio)	0	•
Calculations of trace elements partition coefficients	0	0
Modeling crystallization at atmospheric pressure	0	0
Modeling crystallization at elevated pressures (up to 10-12 kbar)	•	0
Modeling crystallization in hydrous systems	٥	0
Simulation of open (with respect to oxygen) systems, using fO2-buffers	0	0
Simulation of closed to oxygen systems at given Fe ²⁺ /Fe ³⁺ ratio	•	0
Simulating formation of layered intrusions	٥	0
Correction for mineral-melt liquidus temperatures	0	0

Где взять MELTS/pMELTS и другие?



Teaching Petrology and Geochemistry with MELTS software

Current Applications and Future Possibilities

Paula Antoshechkina, Paul Asimow & Mark Ghiorso.

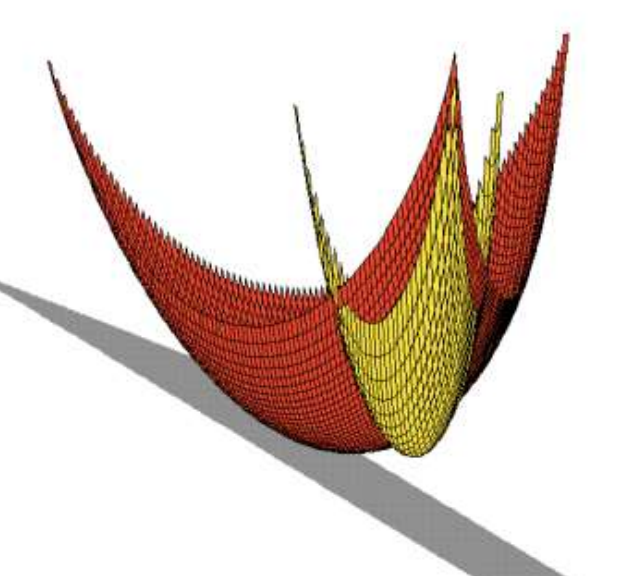


psmith@qps.caltech.edu asimow@qps.caltech.edu ghiorso@ofm-research.org

MELTS/pMELTS и другие

What is MELTS (sensu lato)?

- A family of software packages for modeling phase equilibria in magmatic systems
 - Berman 1988 based database
 - Published solution models for solid phases (& water)
 - Various liquid calibrations (MELTS, pMELTS, ...)
- MELTS uses minimization of total free energy (for PT) or rather than solving for coincident tangent planes
- GUI and text-based versions
 - http://melts.ofm-research.org/
 - http://magmasource.caltech.edu/



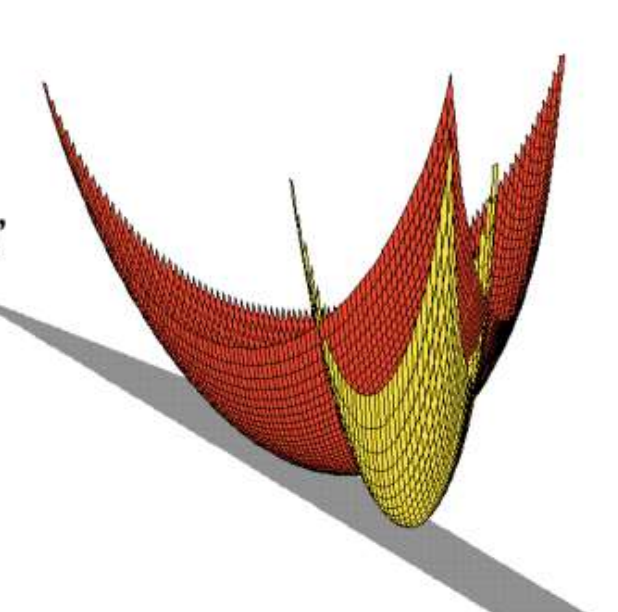


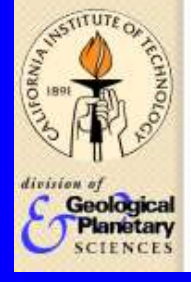
From Ghiorso 1994, GCA 58, 5489-5501

MELTS/pMELTS и другие

The MELTS family continued

- All MELTS software has capability to do
 - Prescribed P-T paths
 - Adiabatic (isentropic)
 - Heat-balanced (isenthalpic)
 - Constant volume (isochoric)
 - · 'Find Liquidus' or 'Phase diagram'
 - fO₂ constraints
 - Output includes compositions, thermodynamic data...
- Suitable for e.g.
 - Fractional / batch crystallization and AFC
 - · Mantle melting, melt extraction...
- Known issues and limitations
 - See e.g. Hirschmann et al. (1988)





From Ghiorso 1994, GCA 58, 5489-5501

СОМАСМАТ в сравнении с MELTS

JOURNAL OF PETROLOGY Journal of Piccology, 2018, Vol. 10, No. 1, 180-198 doc 10.1812/pictrology/sp/05 Advance Access Publication Date: 1 March 2018 Ociobral Article



The COMAGMAT-5: Modeling the Effect of Fe-Ni Sulfide Immiscibility in Crystallizing Magmas and Cumulates

Alexey A. Ariskin 1,2*, Kirill A. Bychkov 1, Georgy S. Nikolaev 2 and Galina S. Barmina 2

*Department of Petrology, Mascow State University, Lentralis Gory 1, Mascow 11934, Russia; *Vernadaky Institute, Konygin STR, 19, Mascow 11991, Russia

*Corresponding author. Telephone: +7495-0397000, Fax: +7495-0397054, E-mail: ariskin@rambler.ru Resident September 26, 2016; Accepted February 29, 2018

ABSTRACT

Details of the calibration and testing of the first 'sulfide version' of the COMAGMAT magma crystallization model tversion 5-2, 2012-2014) are presented. The model's updated empirical basis includes new mineral-melt geothermometers for olivins, plagioclass, high-Ca pyroxens, pigeonits, and orthopyroxene (calibrated at 1 atm. pressure), which are combined with a recently proposed Fe-Ni suffice solubility model. This allows COMACMAT-5 to be used for calculations of equilibrium and fractional crystallization of 5-saturated and 5-undersaturated magmas, including changes in the FeMi ratio in allicate mails, femic minerals, and coexisting sulfides, as well as sulfide-ellicate (±Fe-Ti oxides) proportions for multiply-asturated mineral assemblages. Based on our experience in tests of experimental data and modeling crystallization of malic magmas, the possible range of application of COMAGMAT-5 may be extended up to 1-2 liber pressure. The new model suggests a strong dependence of sulfide Equid immiscibility on the Ni content of the malt, as the increase of Ni is shown to decrease sulfide solubility, thus stabilizing the sulfide liquid in crystallizing mineral assemblages. This affect was tested for a Ni-rich sulfide-esturated glass dredged from the the southern Mid-Atlantic Ridgs. The sulfide COMAGNAT was found to accurately predict the low S content observed in the glass (-600 ppm); other existing TeS' solubility models yield higher values, mostly > 1000 ppm. In addition, using an experimentally studied high magnesis andesite composition, the results of calculations with two versions of COMAGMAT (3-72 & 5-2) were compared with those produced by MELTS family models. Application examples of COMAGMAT-5 include the modeling Fe-Ni sulfide saturation during equilibrium and fractional crystallization of ultramatic systems, approximating the most primitive magmas and cumulates from the Bushveld Complex in South Africa.

Key words: thermodynamic modeling; COMAGMAT; magma crystallization; sulfide immiscibility

INTRODUCTION

The thermodynamic aspect of the genetic reconstructions of sulfide saturation history in mafic to ultramatic systems requires evaluating sulfide immiscibility timing and sulfide liquid composition at different stages of magmatic evolution. This involves constraints on the phase and chemical compositions of the crystallizing magma and, or, cumulates, particularly focusing on the equilibnium between the residual allicate melt and immiscible sulfide liquid. Some of these issues have been addressed in the 'walfide version' of the COMAGMAT-5 magma crystallization model (Ariskin et al., 2009, 2013). This version combines an updated sudfide solubility model with newly-cultivated silicate mineral-melt genthermometers in a single algorithm designed to assess the effect of the fa/Ni sulfide immiscibility on the compositional evolution of silicate melts, Fe-Nig minerals, and coexisting sulfides. Another feature of the new COMAGMAT is its ability to calculate sulfide-silicate (±Fe-Ti oxides) proportions for multiple-saturated mineral assemblinges, and

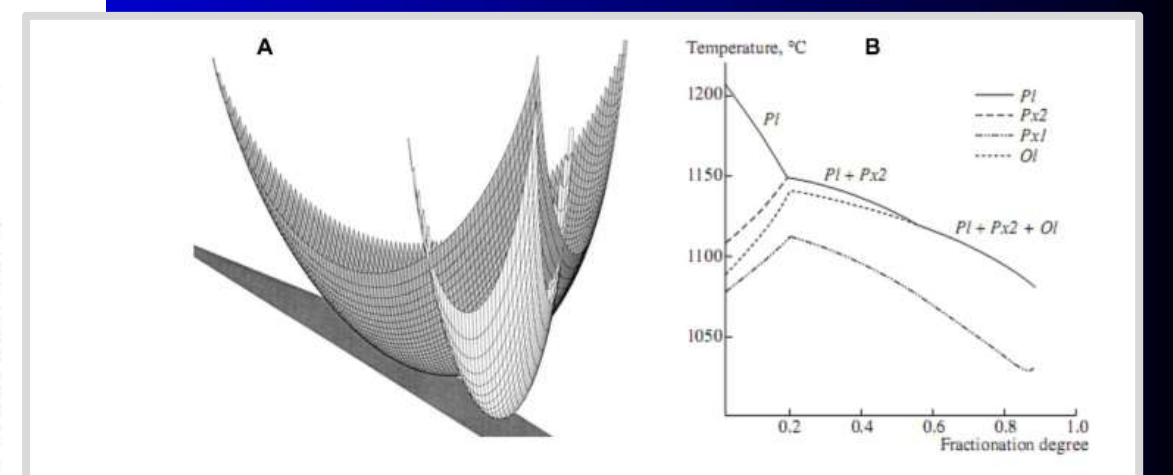


Figure 2.15. Two possible criteria for the saturation of a magmatic melt with solid minerals

COMAGMAT в сравнении с MELTS

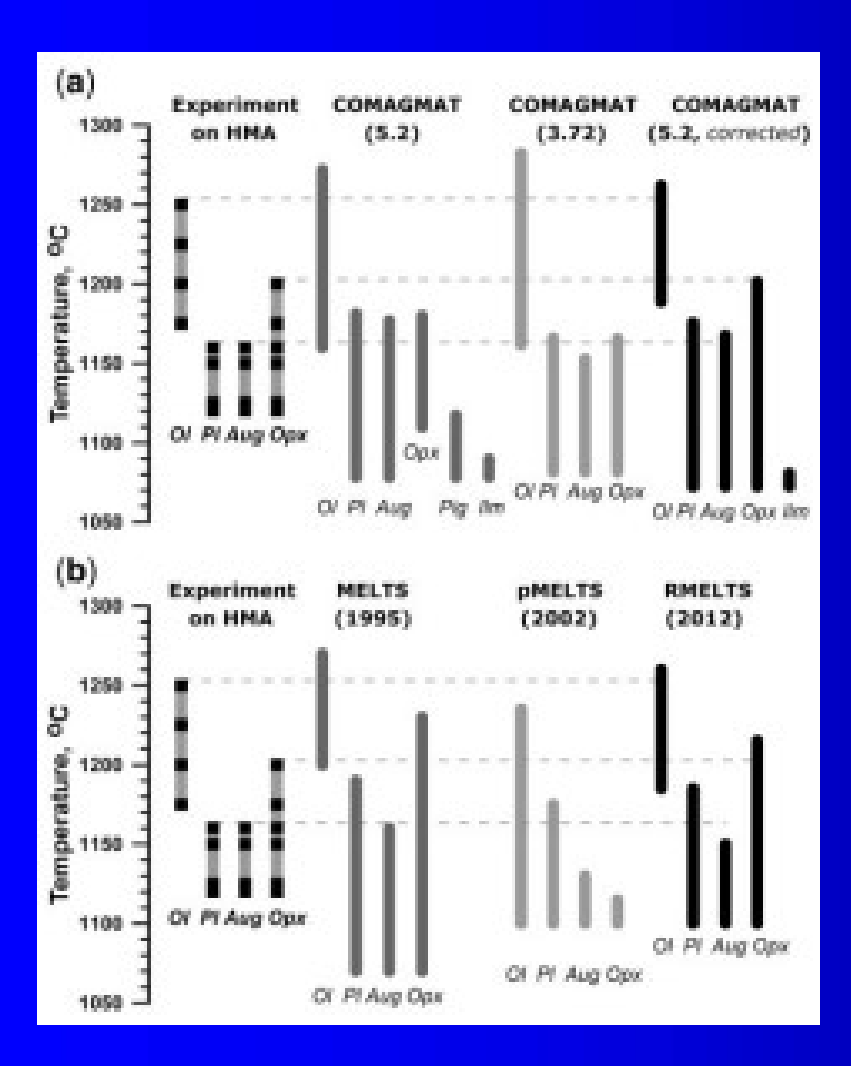
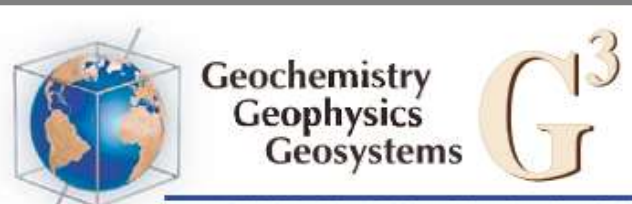


Fig. 2. Experimental and modeled sequences for equilibrium crystallization of the high-Mg andesite 85-41c (Grove et al., 2003) at P = 1 atm and QFM. The dashed lines represent experimental liquidus temperatures for olivine, orthopyroxene, and clinopyroxene & plagioclase. (A) Calculations using the COMAGMAT-5-2 model were conducted without corrections for the modeled mineral temperatures and using small temperature shifts with respect to the original calculated values (=10°C for olivine, -12°C for plagioclase, -3°C for high-Ca pyroxene, and +5°C for orthopyroxene), see option 45 in Supplementary Data Electronic Appendix 2 (Part 4). For comparison, results of simulations by COMAGMAT-3-72 are shown. Both models were downloaded from http://geo.web.ru/ ~ariskin/soft.html-id=comagmat.htm. All crystallization trajectories were constructed with crystallization increments from 0-5% up to 80% crystallized. The composition of the HMA is listed in Table 2. (B) MELTS calculations (Ghiorso & Sack. 1995) were carried out using the Adiabat_1ph version 1-8 run by an EXCEL-based front-end using a shell command (developed by J.-I. Kimura, JAMSTEC, Japan), whereas pMELTS (Ghiorso et al., 2002) and RMELTS (Gualda et al., 2012) codes were downloaded from http://melts.ofm-research.org/unix. html. The MELTS crystallization trajectory was modeled with a 10°C temperature increment in the 1300-1000°C range; calculations using pMELTS and RMELTS were carried out in the 1265-1000°C range with a 5°C temperature increment. The calculations using pMELTS and RMELTS resulted in a wide field of spinel (with onset of crystallization temperatures of 1160°C and 1220°C, correspondingly), not shown in the Figure 2b plots. A complete series of EXCEL-files including results of the modeling is available upon request from the authors.

TIPOTPAMMA PETROLOG



Technical Brief

Volume 12, Number 7 29 July 2011 Q07021, doi:10.1029/2011GC003516

ISSN: 1525-2027

Published by AGU and the Geochemical Society



П.Ю. Плечов

Petrolog3: Integrated software for modeling crystallization processes

Leonid V. Danyushevsky

CODES and School of Earth Sciences, University of Tasmania, Private Bag 79, Hobart, Tasmania 7001, Australia (I.dan@utas.edu.au)

Pavel Plechov

Petrology Department, Geology Faculty, Moscow State University, Vorob (pavel@web.ru)



Di (50%)

Pl-only field

Pl-only field

Memod "блуждания" около котектики Pl-Ol

Ol (40%)

Pl (60%)

Л.В. Данюшевский (Тасманийский ун-т, Австралия)

Обоснование метода "блуждания возле котектик" (1982-2011)

1982

ГЕОХИМИЯ

Nº 3

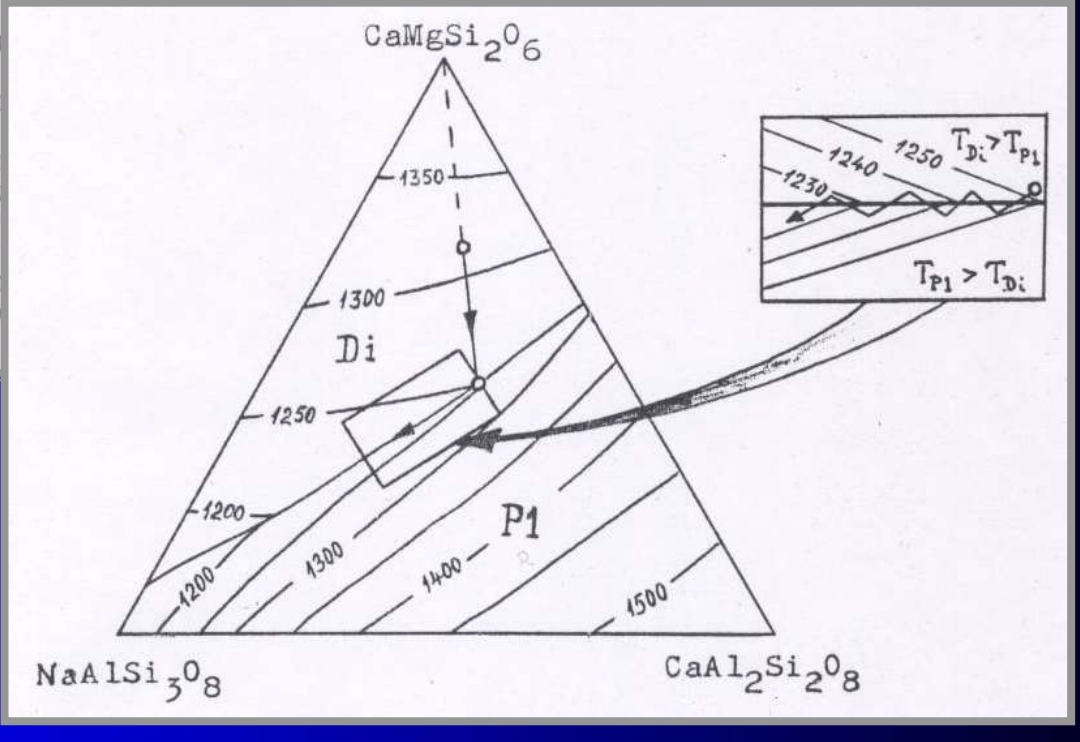
УДК 550.89

МОДЕЛИРОВАНИЕ ФРАКЦИОННОЙ КРИСТАЛЛИЗАЦИИ ОСНОВНЫХ СИЛИКАТНЫХ РАСПЛАВОВ НА ЭВМ

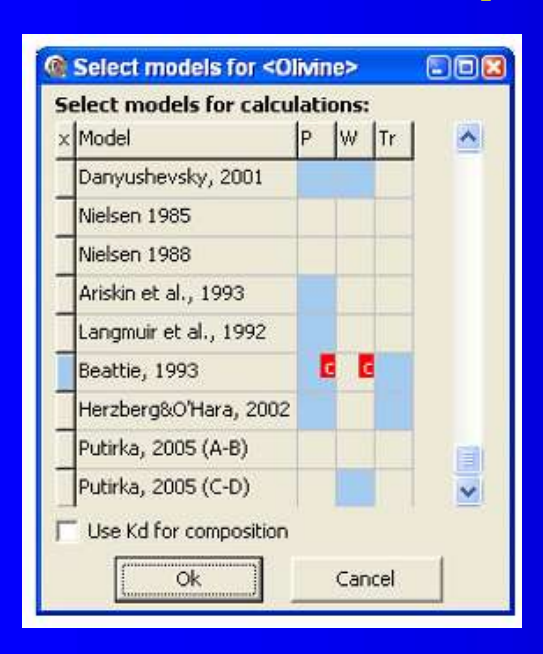
АРИСКИН А. А., ФРЕНКЕЛЬ М. Я.

На основании литературных дан построен алгоритм расчета на ЭВМ ных силикатных расплавов (порядощихся минералов, состав расплава, в зависимости от степени фракцион чет траекторий фракционной кристаких по составу базальтам. Результат для количественной оценки влияния рость фракционирования жидкой и тпорций кристаллизации и тенденции э

Пример "блуждания" около котектики Di-Pl (Арискин, 1985)



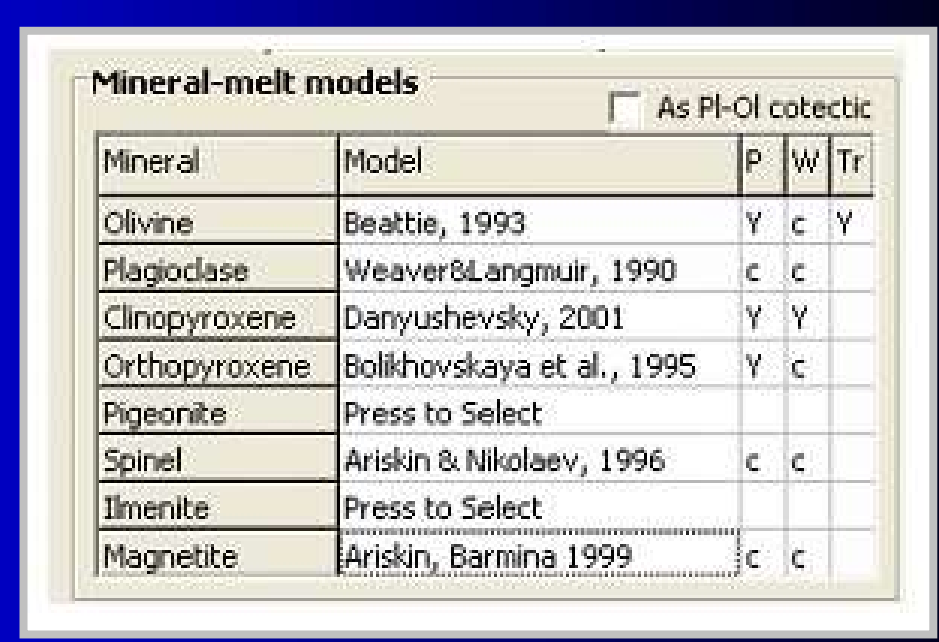
Проблемы произвольного выбора геотермометров в программе PETROLOG



Законы термодинамики требуют выполнение условия (Ghiorso, 1987)

$$\left[\frac{\partial \ln a_i}{\partial n_j}\right]_{T,P,n_{k\neq j}} = \left[\frac{\partial \ln a_j}{\partial n_i}\right]_{T,P,n_{k\neq i}}$$

Нарушение этих соотношений означает, что функция свободной энергии не определена во всем диапазоне составов



В случае произвольного выбора геотермометров (основанных на разных моделях активности компонентов расплава) это условие нарушается

$$\left[\frac{\partial \ln a_i}{\partial n_j}\right]_{T,P,n_{k\neq j}} \neq \left[\frac{\partial \ln a_j}{\partial n_i}\right]_{T,P,n_{k\neq i}}$$

Необходимость контроля расчетов с пояснениями артефактов

МОСКОВСКИЙ ГОСУДАРСТВЕННЫЙ УНИВЕРСИТЕТ имени М.В. ЛОМОНОСОВА ГЕОЛОГИЧЕСКИЙ ФАКУЛЬТЕТ

На правах рукописи

Бычков Дмитрий Алексеевич

Программа КриМинал и набор композитометров: инструменты для моделирования равновесия силикатный расплав – минералы

Специальность 1.6.4 – Минералогия, кристаллография. Геохимия, геохимические методы поисков полезных ископаемых

АВТОРЕФЕРАТ

диссертации на соискание ученой степени кандидата геолого-минералогических наук

Москва - 2023

Программа КриМинал

